

Convegno ReLUIS



Progetto DPC-ReLUIS 2024-2026 II anno

Napoli, 13-14 ottobre 2025

WP 4 – MARS-CARTIS Mappe di Rischio e Scenari di danno sismico

Sergio Lagomarsino, Angelo Masi e Giulio Zuccaro



Struttura del progetto: Task e Unità di Ricerca



12 Task – 44 Unità di Ricerca

UR

7

■ Task 4.2 Esposizione (dati e tassonomie) (G. Zuccaro, M. Polese)

· 10

Task 4.3 Vulnerabilità (misure di danno e modelli) (S. Lagomarsino, G. Zuccaro)

6

Task 4.4 Esposizione/ Vulnerabilità del residenziale (coord. G. Verderame, F. Parisi)

25

■ Task 4.5 Esposizione / Vulnerabilità di scuole e ospedali (coord. S. Cattari)

13

Task 4.6 Esposizione / Vulnerabilità delle chiese (coord. C. Calderini, F. da Porto)

- **14**
- Task 4.7 Esposizione / Vulnerabilità capannoni e strutture con grandi luci (R. Landolfo, R. Nascimbene)
- **-** 6

Task 4.8 Esposizione / Vulnerabilità delle infrastrutture (coord. A. Prota)

• 7

■ Task 4.9 Conseguenze (coord. M. Di Ludovico)

6

Task 4.10 Valutazione multirischio per effetti sismo-indotti (coord. A. Masi)

11

Task 4.11 Rischio a scala nazionale e locale (coord. S. Lagomarsino, A. Masi, G. Zuccaro)

- ' /
- Task 4.12 Scenari di danno sismico (OELF, post-evento) (coord. S. Lagomarsino, A. Masi, G. Zuccaro)
- **-** 11

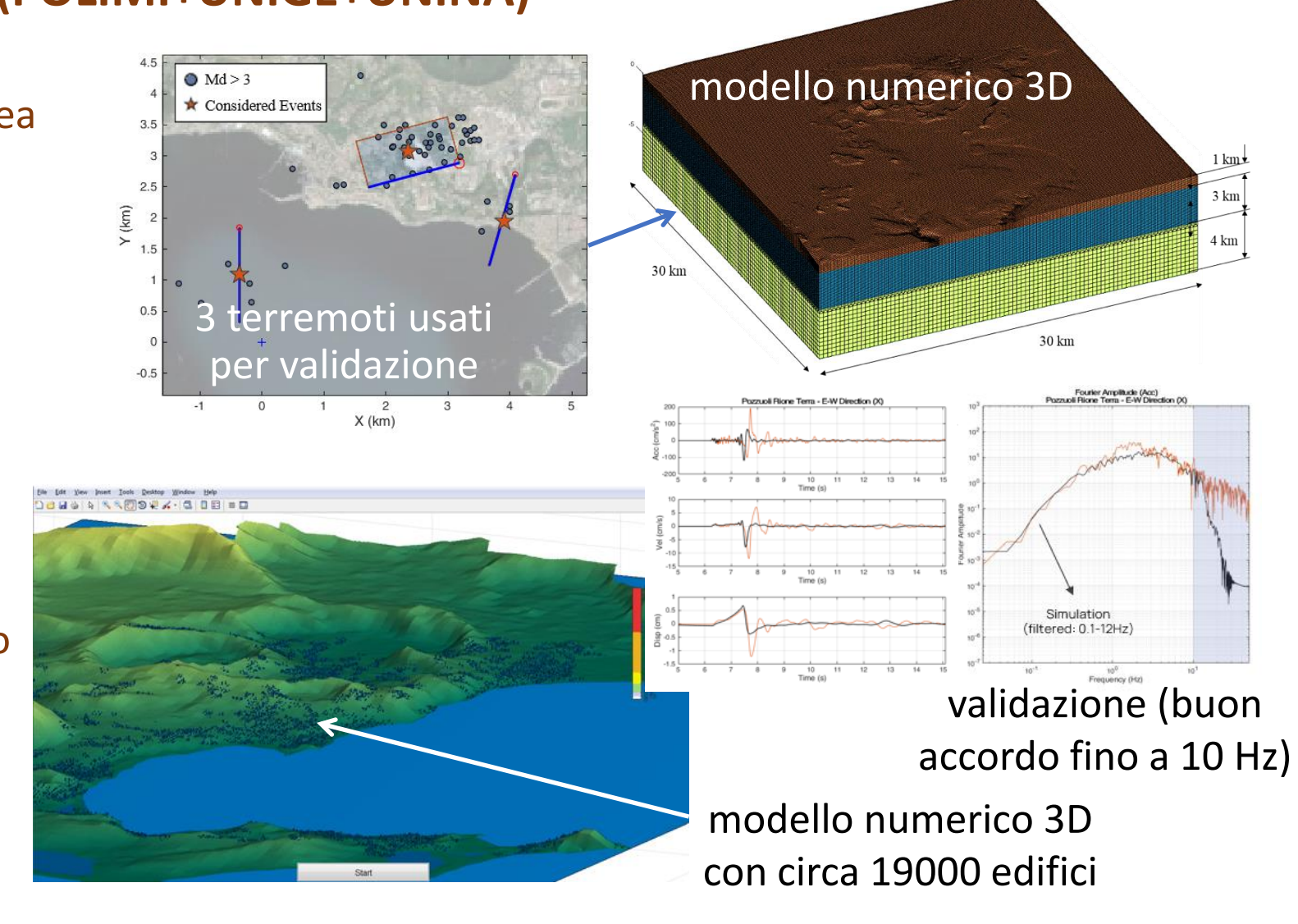


Task 4.1 – Pericolosità (scenari di scuotimento e IM) (R. Paolucci, A. Penna)



Scenari di impatto fisicamente e meccanicamente basati per terremoti di M5 ai Campi Flegrei (POLIMI+UNIGE+UNINA)

- ✓ costruzione del modello numerico dell'area dei Campi Flegrei (con UNINA-Fis)
- √ validazione per alcuni terremoti della sequenza (fino a M4)
- √ simulazione 3D di alcuni scenari di M5
- ✓ raccolta di informazioni tipologiche e di curve di capacità per gli edifici dell'area (UNINA, UNIGE)
- ✓ ripetizione delle simulazioni 3D tenendo conto della presenza degli edifici (SDOF elastoplastici) sulla superficie del modello
- ✓ stima del danno tramite soglie di drift
- ✓ confronto con approcci empirici "tradizionali" (modelli di scuotimento empirici +curve di fragilità)



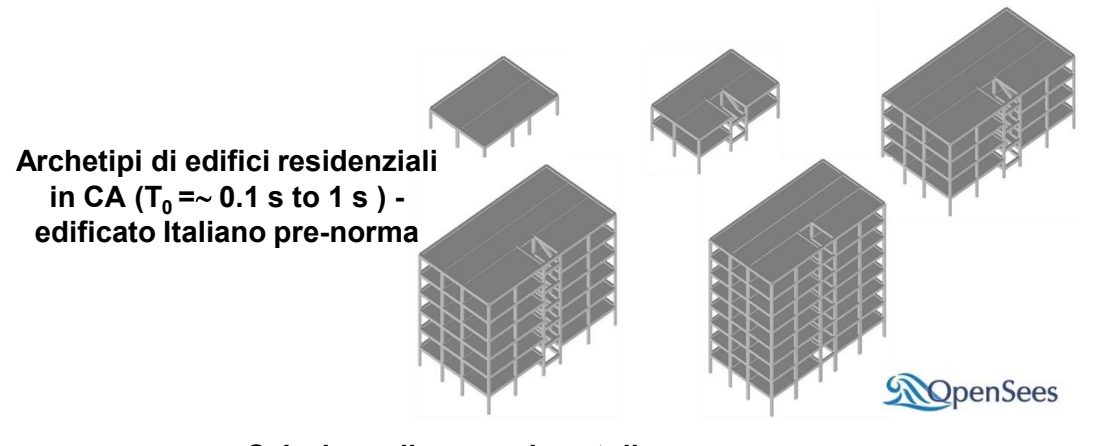


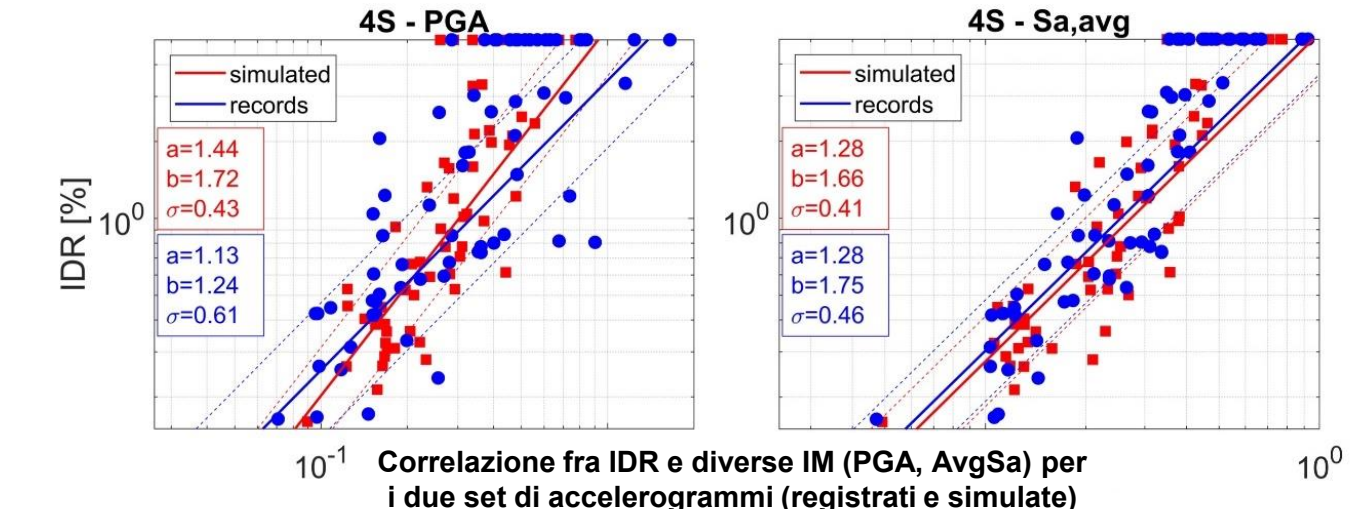
Task 4.1 – Pericolosità (scenari di scuotimento e IM) (R. Paolucci, A. Penna)

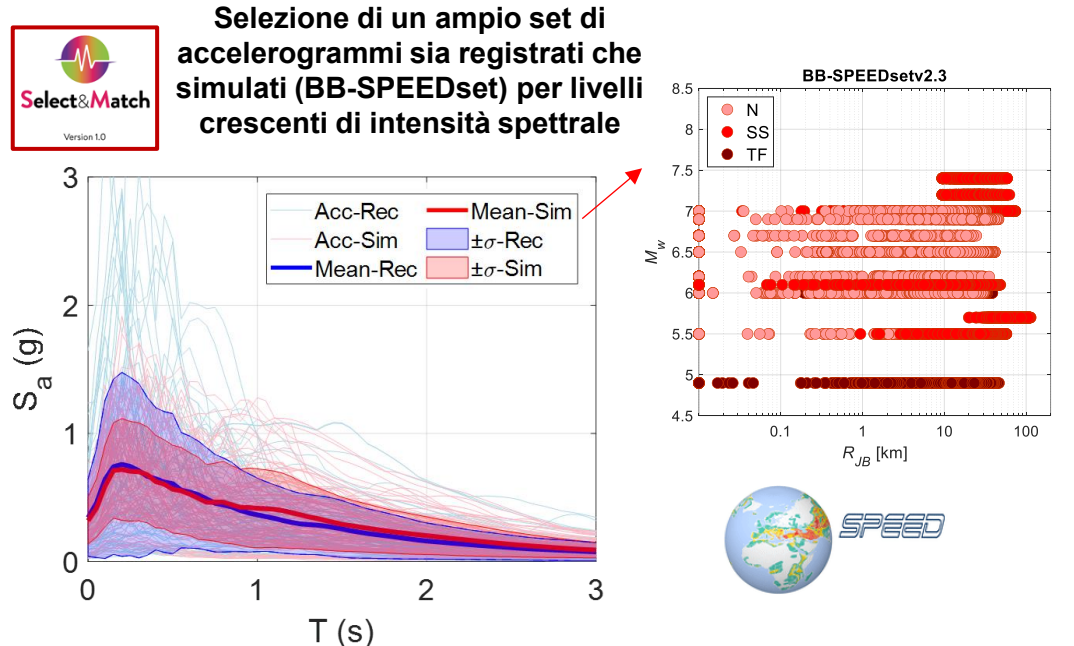


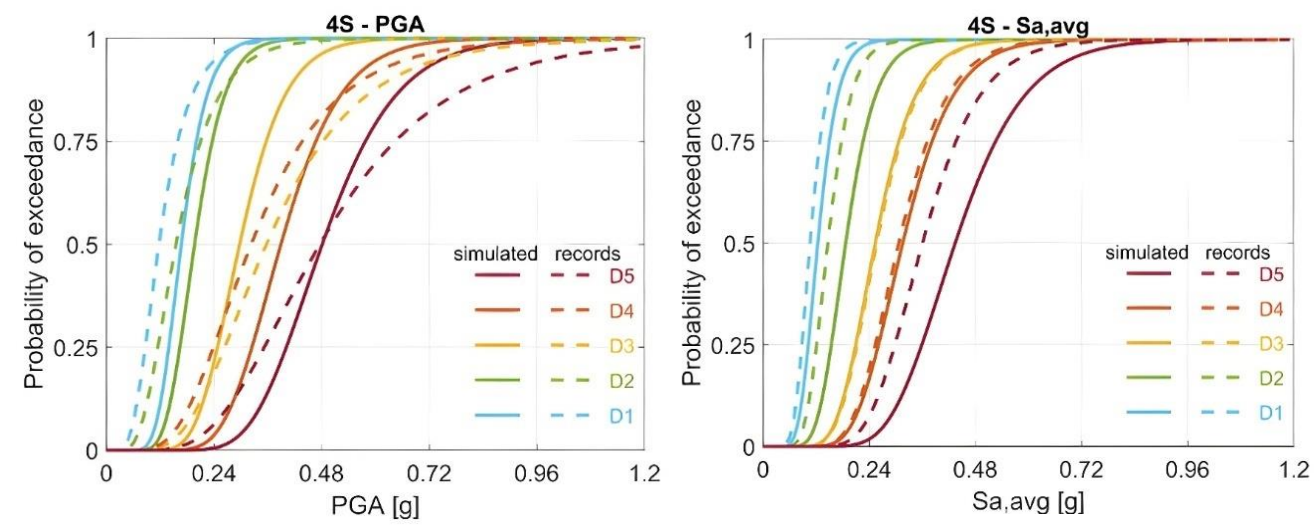
Validazione di accelerogrammi da simulazioni numeriche 3D

per analisi di fragilità (POLIMI+UNIBAS)









AvgSa, essendo una IM sufficiente e più efficiente di PGA, porta a curve di fragilità indipendenti dal dataset (registrazioni vs. simulazioni)



Task 4.1 – Pericolosità (scenari di scuotimento e IM) (R. Paolucci, A. Penna)

Vs (m/s) 2000

> Cea12 Cea12 first layer

 $Vs = 700 + 39 z^{0.5}$

Vp = Vs*1.81

propagazione sono

modellate fino a 2 Hz.

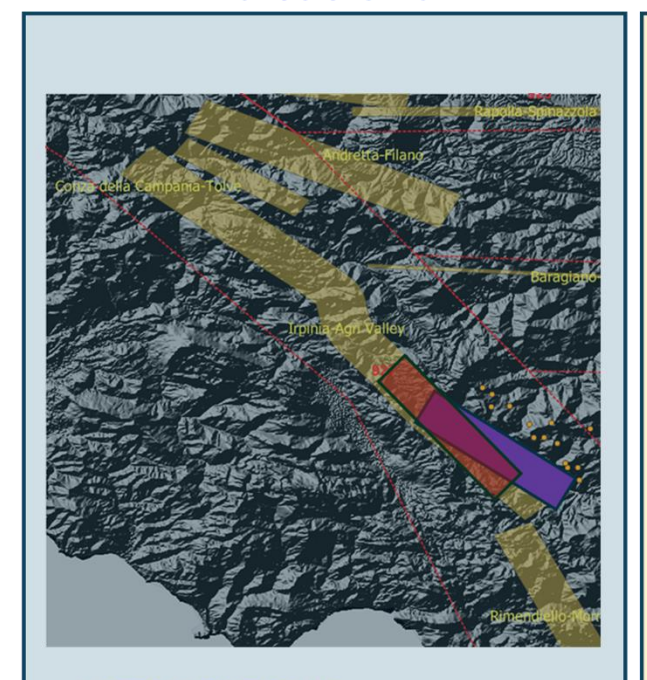
La rottura e la

 $rho = 1960 + 11 z^{0.5}$



Scenari di scuotimento simulato: Appennino Irpino-Lucano (UNIPV+POLIMI)

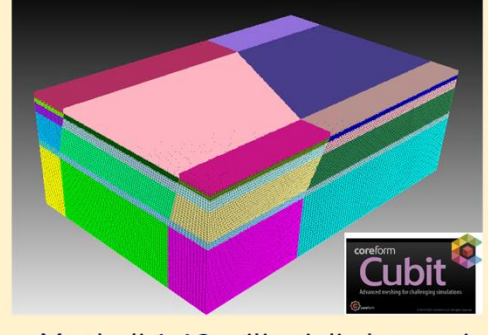
CASO STUDIO



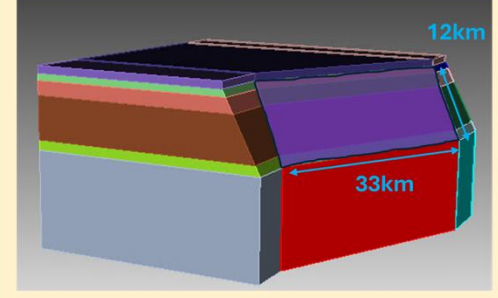
SISTEMA DI FAGLIE:

- · Debated Seismogenic Sources-DSS

MODELLAZIONE DEL BACINO

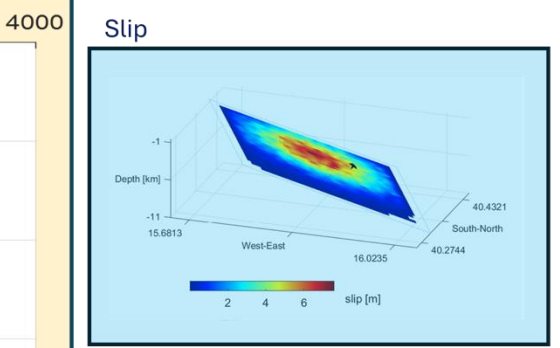


- Mesh di 1,13 milioni di elementi spettrali di ordine 4
- 6 ore di wall time con 64 processori su HPC

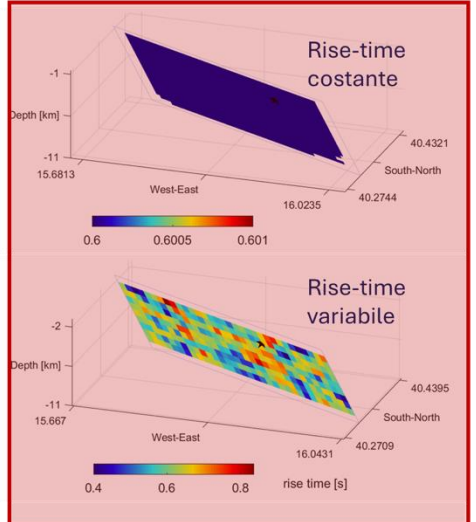


Piano di rottura modellato con dimensioni di 33 km x 12 km per generare un evento di M6.8

MODELLAZIONE DELLA **SORGENTE**



Rise-time

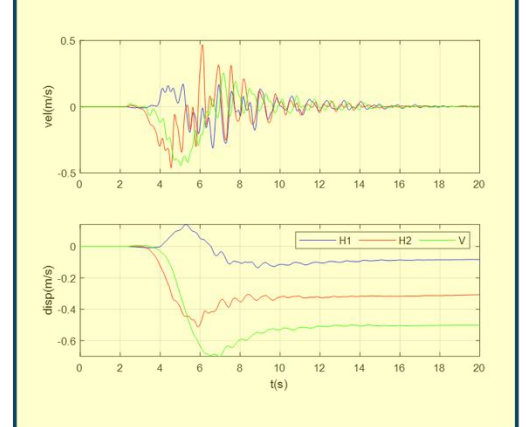


SIMULAZIONE



OUTPUT:

Storie temporali free-field in superficie e a diverse profondità nel sottosuolo

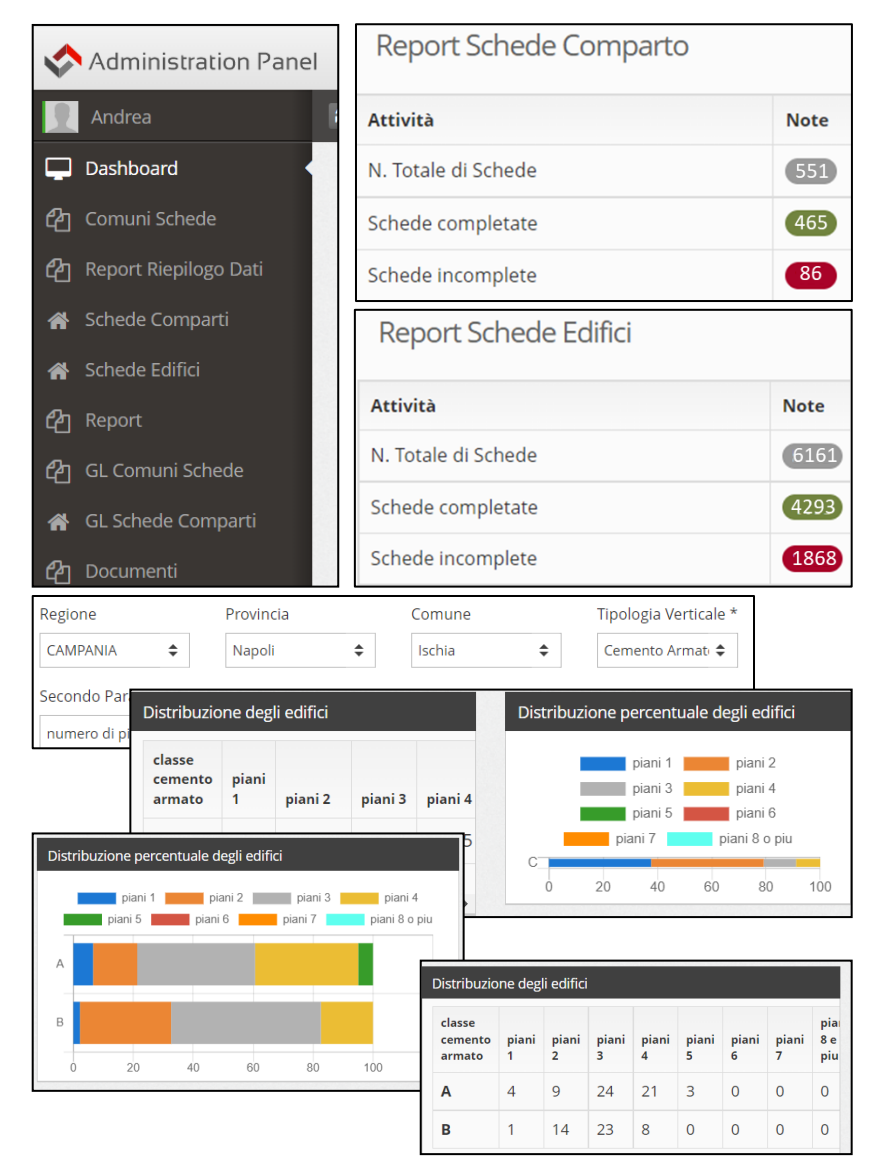




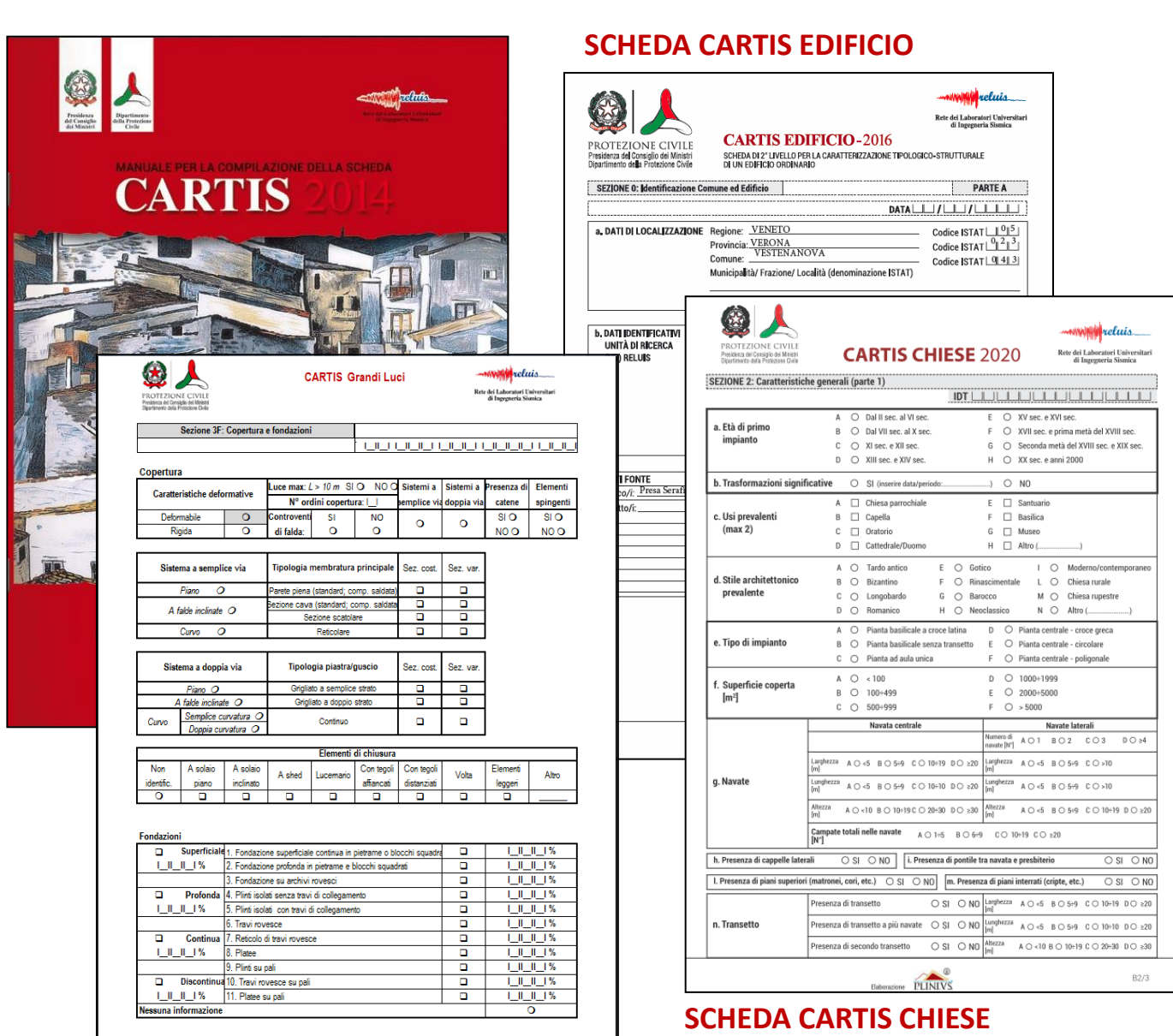


Task 4.2 – Esposizione: dati e tassonomia (G. Zuccaro, M. Polese)





Prosecuzione dell'attività di raccolta dati sul campo, sia a scala comunale (comparti) che su singoli manuifatti

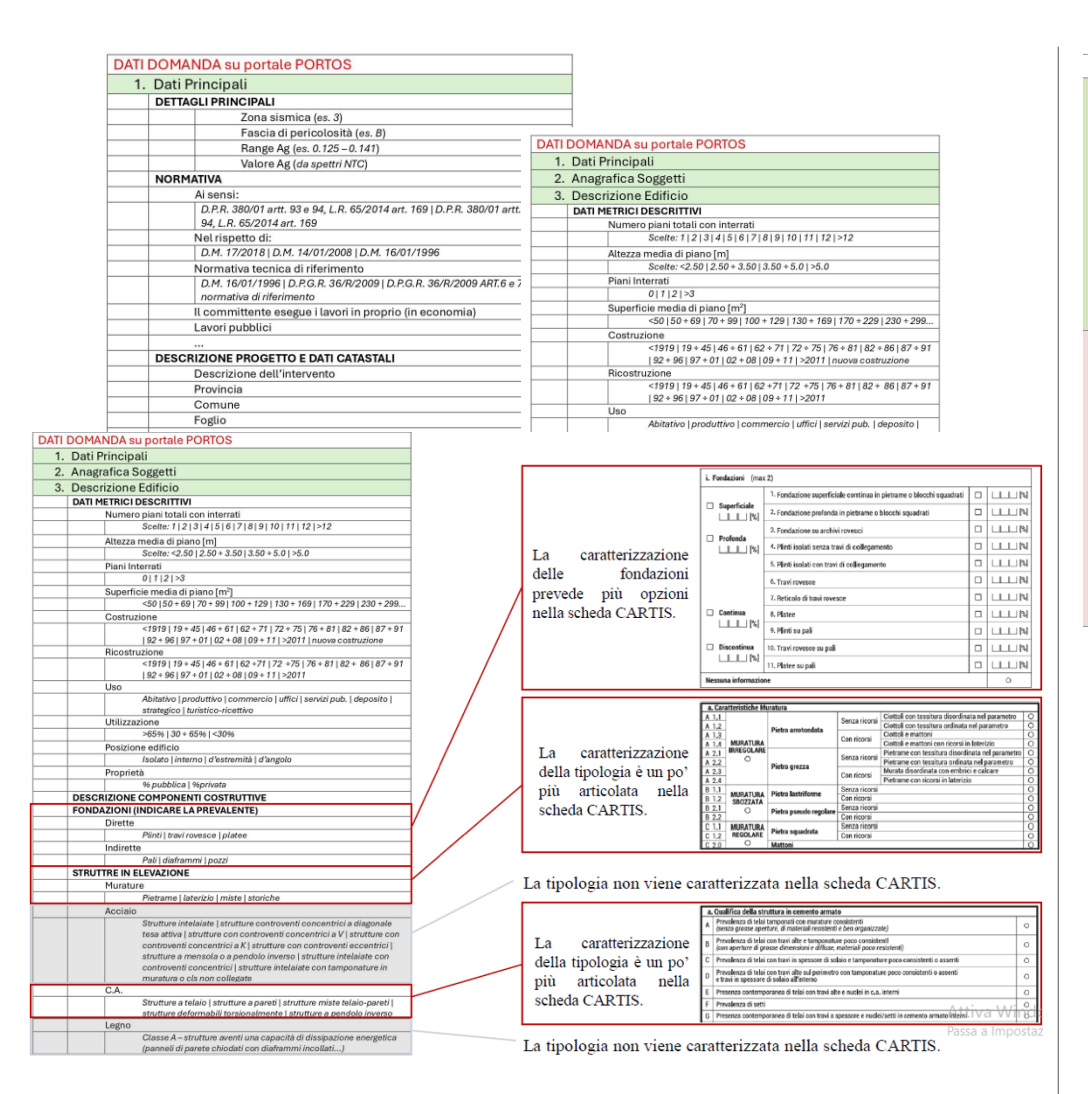


SCHEDA CARTIS GRANDI LUCI

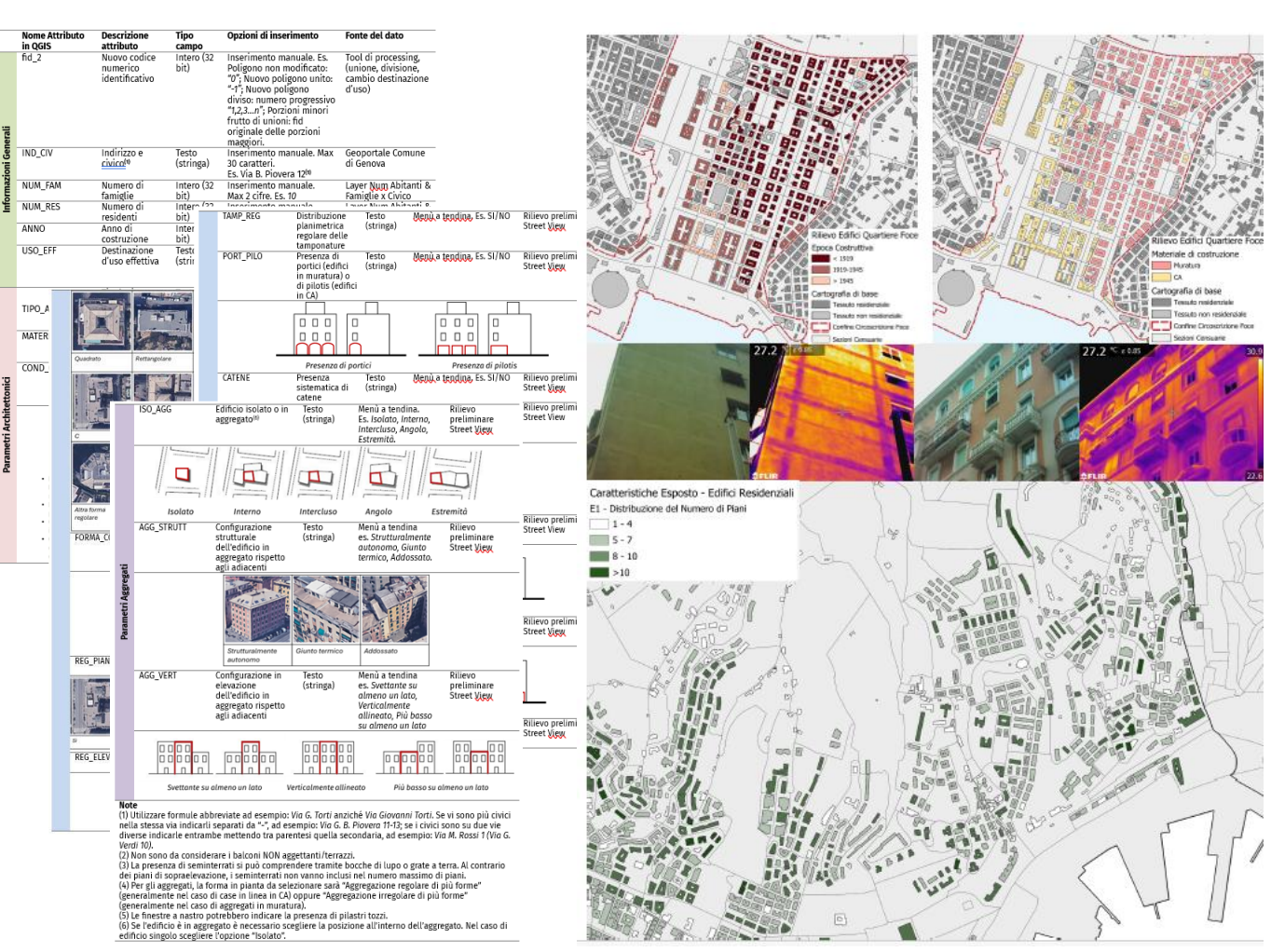


Task 4.2 – Esposizione: dati e tassonomia (G. Zuccaro, M. Polese)





Studi di compatibilità tra la scheda CARTIS EDIFICIO e altri database esistenti (es. portale PROTOS)



Raccolta building-by-building di parametri tassonomici a scala urbana, utili a caratterizzare la vulnerabilità degli edifici, per validazione e integrazione dati ISTAT



Task 4.2 – Esposizione: dati e tassonomia (G. Zuccaro, M. Polese)



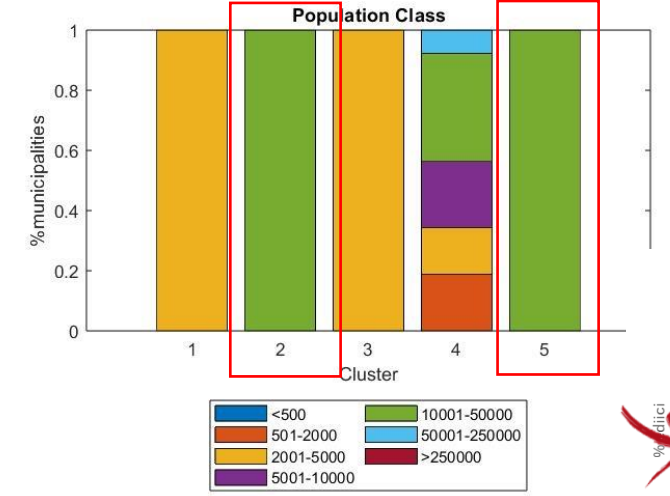
Clustering per individuare aree omogenee tipologicamente

- Partitioning Clustering
 - Divide il dataset in un numero predefinito di cluster.
 - Assegna ogni punto dati a un solo cluster.
 - Algoritmi di esempio: K-means, K-medoids e K-prototypes.
- Hierarchical Clustering
 - Costruisce una gerarchia di cluster unendo cluster più picco in cluster più grandi (agglomerativi) o suddividendo cluste più grandi in cluster più piccoli (divisivi).
 - Non è necessario specificare in anticipo il numero di cluster.
 - Algoritmi di esempio: clustering agglomerativo, clustering divisivo.

Fattori considerati per il clustering:

- Altimetric Zone: Le regioni montane, collinari e pianeggianti spesso influenzano il tipo di materiali e metodi di costruzione, che influenzano la vulnerabilità sismica degli edifici.
- Population Class: I comuni più piccoli tendono ad avere edifici più vecchi e più vulnerabili.
- Building Inventory Data: Percentuale di edifici in muratura regolare/irregolare.
 Età degli edifici. Tipologia di solai.

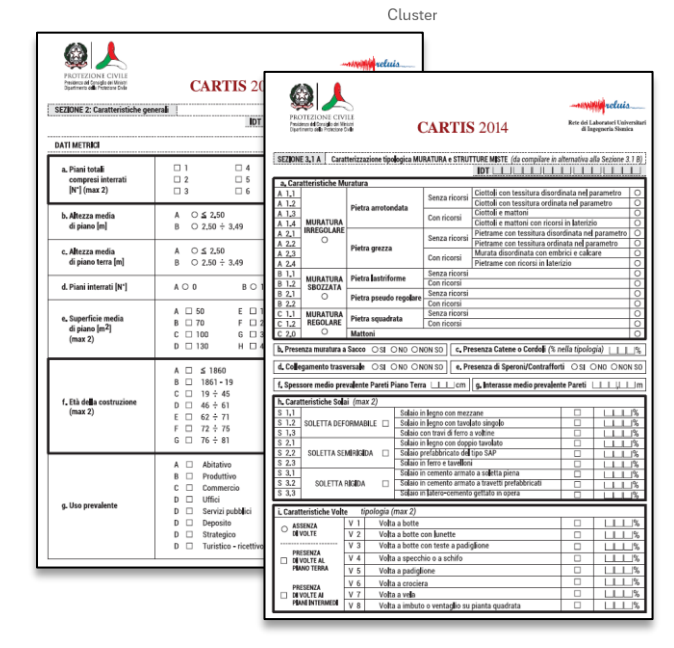
 From CARTIS



Cluster 2 e 5: Diversa % di edifici MUR IRR

Percentuale media edifici MUR IRR

0.6
52.97%
0.5
0.4
26.49%
0.1
0
1 2 3 4 5





Task 4.3 – Vulnerabilità (scale e modelli) (S. Lagomarsino, G. Zuccaro)

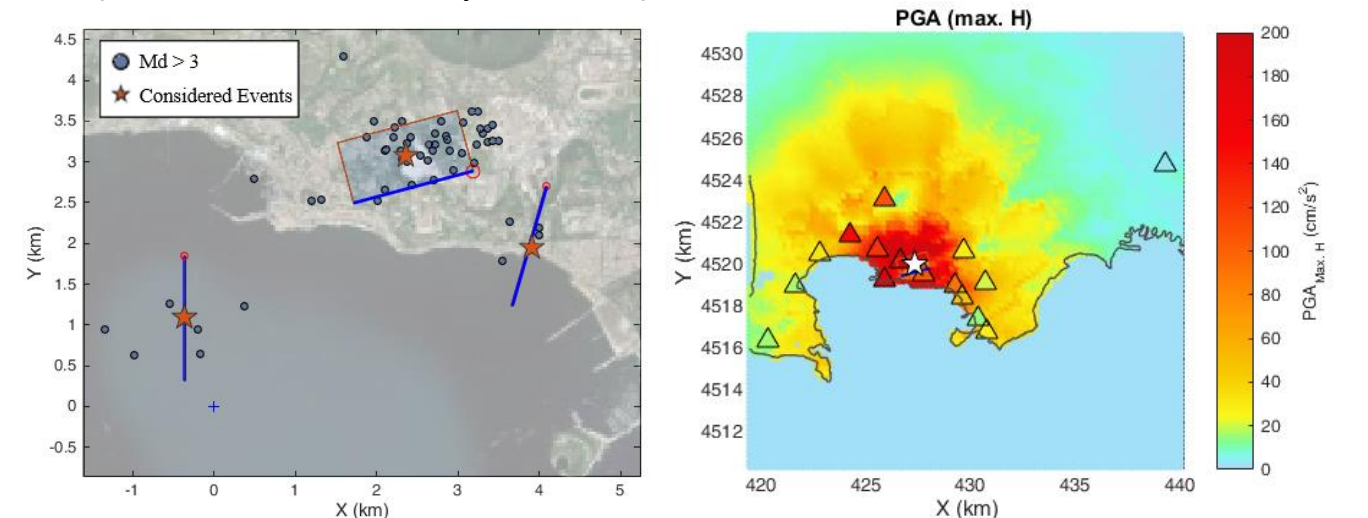


OBIETTIVI DEL TASK

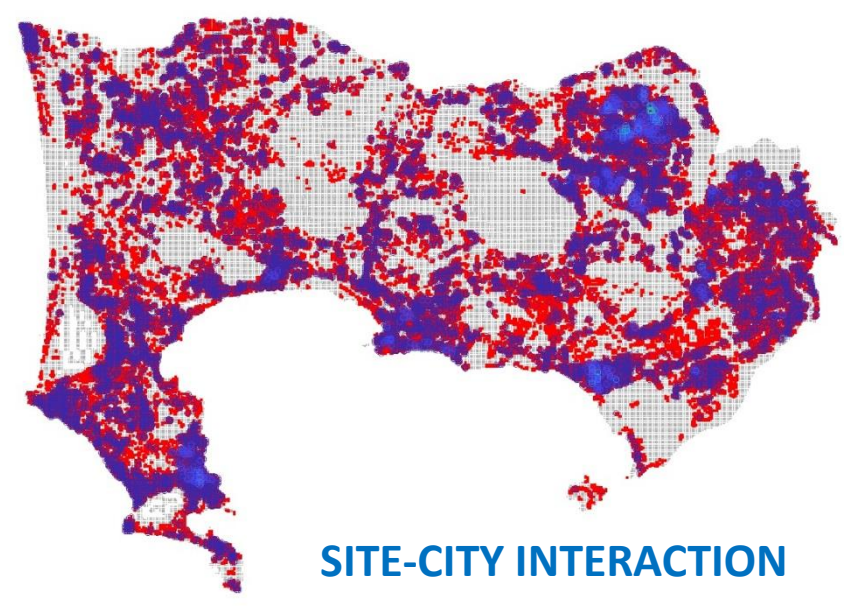
- Validare/migliorare la metrica MARS per la rappresentazione delle curve di fragilità
- Confronto/omogeneizzazione delle misure del danno per i diversi elementi esposti
- Criteri di assegnazione delle curve di fragilità all'esposto, in funzione della tassonomia (classificazione)
- Scelta della unità minima di calcolo/rappresentazione in funzione dell'area geografica analizzata (nazionale, regionale, sub-provinciale, urbana)

ANALISI DELLA VULNERABILITÀ DEL COSTRUITO NELL'AREA DEI CAMPI FLEGREI

- Disponibilità di scenari di scuotimento fisicamente basati (Task 4.1)
- Uso dati ISTAT nella sezione censuaria o di schede CARTIS/PLINIUS
- Modelli meccanici-analitici basati su una tassonomia più accurata (Post, DBV-masonry, FaiMec)



Caratterizzazione del costruito da dati ISTAT Definizione di oscillatori semplici nonlineari Collocazione nel modello sulla base della CTR





Task 4.4 – Esposizione/Vulnerabilità residenziale (F. Parisi, G. Verderame)



Obiettivi primari

15 UR lavorano sulla MURATURA7 UR lavorano sul CA3 UR lavorano sugli edifici MISTI

- > Sviluppo di modelli di vulnerabilità per edifici rinforzati
 - Analisi tipologico-statistica degli interventi di rinforzo per informare modelli regionali (considerando, possibilmente, le <u>aree che hanno beneficiato di incentivi o piani straordinari d'intervento</u>)
 - Valutazione di fattori di modificazione dei parametri delle curve di fragilità associati a interventi di rinforzo
 - Analisi costi-benefici per individuazione delle strategie ottimali di mitigazione del rischio
- > Regionalizzazione dei modelli di vulnerabilità sulla base dei dati sul costruito locale
 - parametri tassonomici: tipologia muraria e orizzontamento per muratura e della tamponatura per c.a.
 - ulteriori parametri: percentuale di aperture e distanza tra pareti, per la muratura
- Approfondimenti metodologici sui modelli di vulnerabilità
 - Valutazione/revisione dei rapporti tra mediane dei DS e quella del DS2 per ogni classe di vulnerabilità EMS98
 - Valutazione/revisione dei pesi attribuiti ai comportamenti "duttile" e "fragile" per trasformazione di ogni set di curve di fragilità di una UR in combinazione lineare di curve delle due classi EMS98 più vicine
 - Considerazione della suolo-dipendenza e di altre misure d'intensità, con sviluppo di modelli di fragilità per categorie di sottosuolo diverse dalla A, oltre che per altre IM

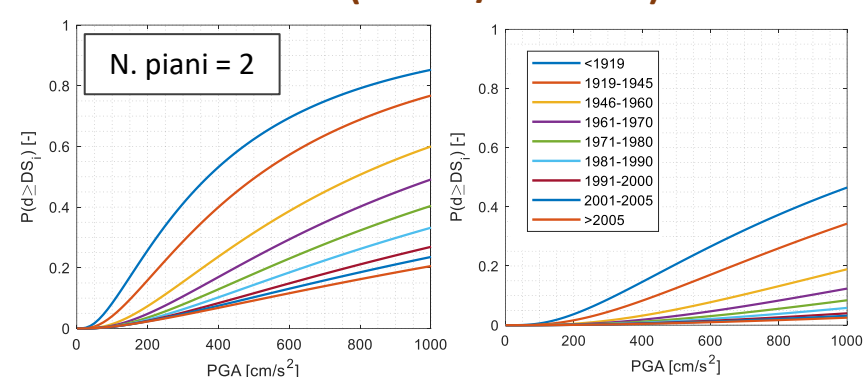


Task 4.4 – Esposizione/Vulnerabilità residenziale (F. Parisi, G. Verderame)



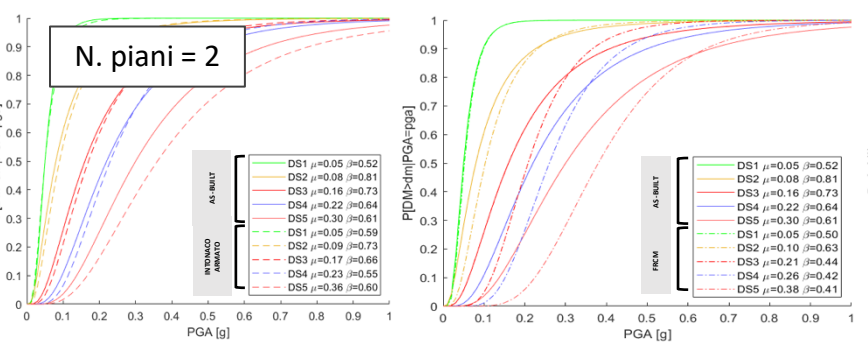
MURATURA - Curve di fragilità mitigata mediante interventi di consolidamento

UniBO (Savoia/Mazzotti)



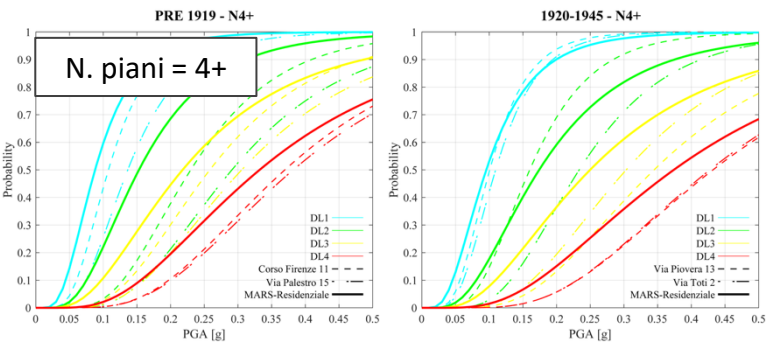
Modelli empirici di fragilità basati su dati di danno dei terremoti Emilia 2012 e Centro Italia 2016

UniNA-d (Parisi)



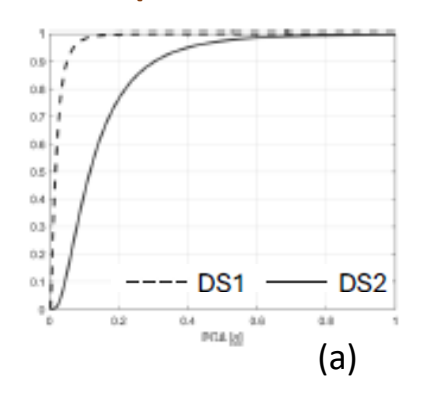
Modelli meccanici di fragilità regionale ante e post intervento

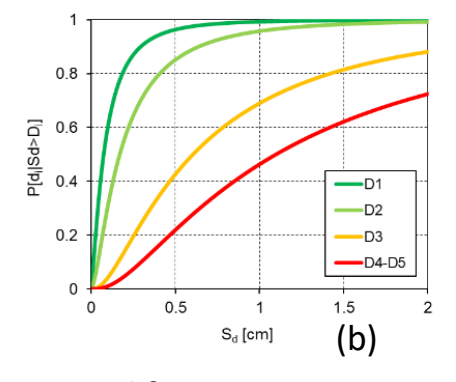
UniGE-b (Cattari)



Modelli meccanici di fragilità per il costruito liqure

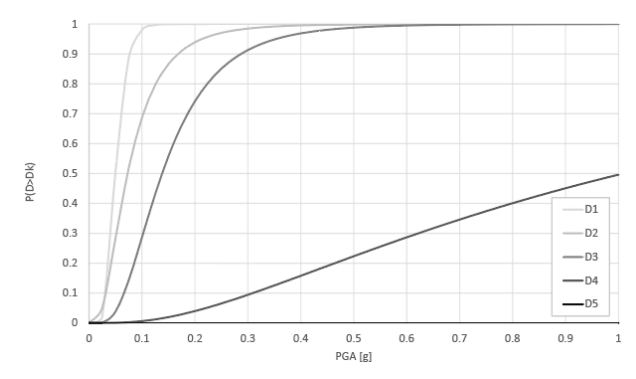
UniCAS (Imbimbo/Grande) UniNA-g (Formisano)





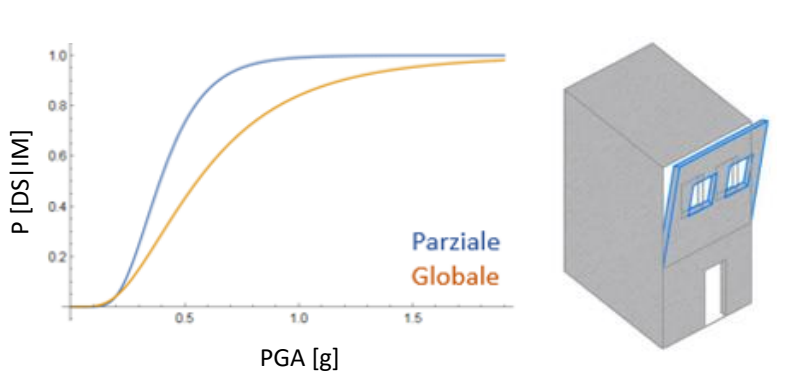
Modelli di fragilità meccanici per edifici in aggregato: (a) Meccanismi fuori piano; (b) Meccanismi nel piano

UniCH (Brando/Masciotta)



Modelli meccanici di fragilità regionale per archetipi abruzzesi

UniPA (Colajanni)



Modelli di fragilità meccanici per meccanismi fuori piano di edifici singoli



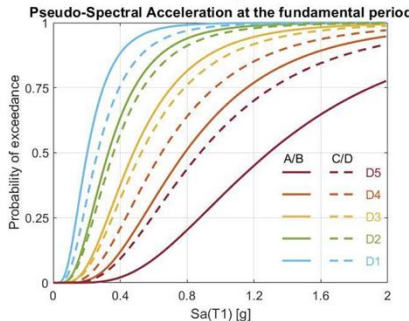
Task 4.4 – Esposizione/Vulnerabilità residenziale (F. Parisi, G. Verderame)

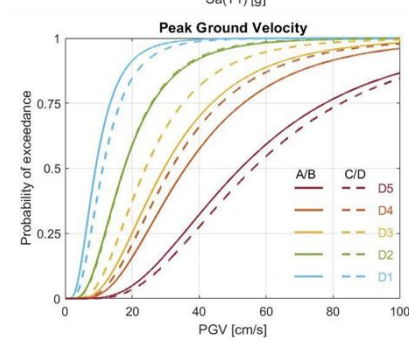


CA - Curve di fragilità mitigata mediante interventi di consolidamento

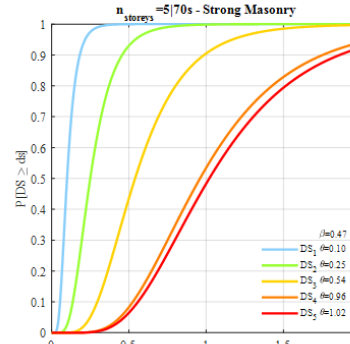
UniBAS (Masi)

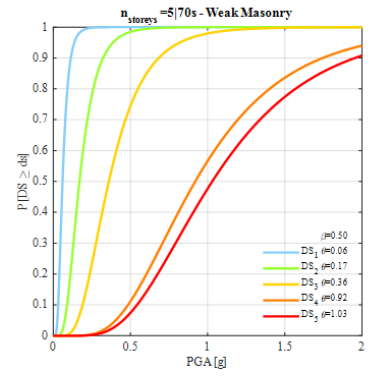
Peak Ground Acceleration A/B C/D A/B C/D A/B C/D D5 A/B C/D D3 D3 D3 D6 D9 PGA [g] Pseudo-Spectral Acceleration at the fundamental period



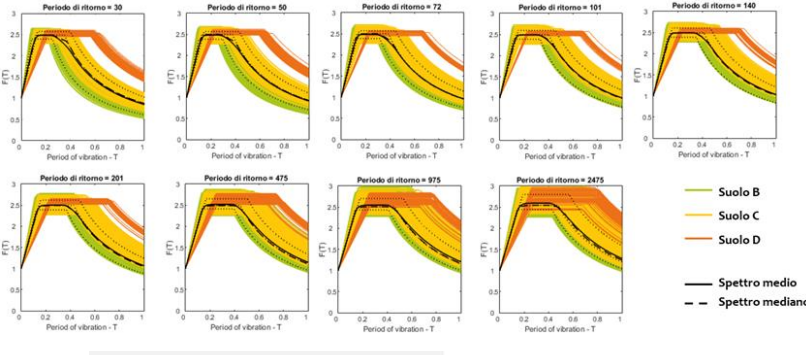


UniNA (Prota/DiLudovico /Polese)

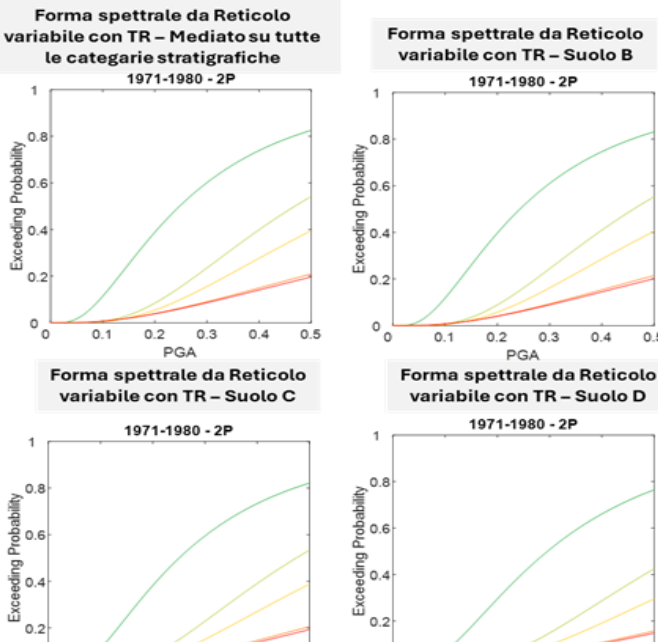




Effetto della consistenza delle tamponature



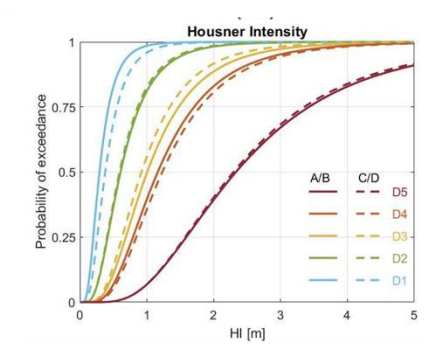
UniNA (Verderame)



0.4

0.1 0.2

0.2 0.3



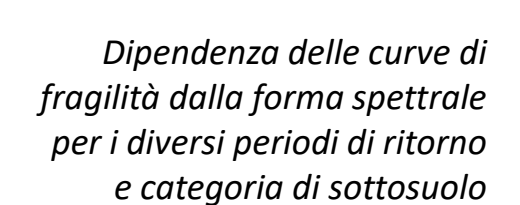
Effetto di diverse IM:

PGA Sa(T) PGV

Housner

sottosuolo

e categoria di





Task 4.5 – Esposizione/Vulnerabilità scuole e ospedali (S. Cattari)



9 UR lavorano sulle SCUOLE

Continuo aggiornamento del modello MARS-Scuole nello stato di fatto

Il modello sviluppato nei precedenti Accordi è aggiornato per tener conto degli avanzamenti scientifici in relazione a nuovi approcci

impiegati dalle UR per derivare curve di fragilità e alla numerosità degli archetipi

Integrazione con la **tipologia strutturale MISTA** da UNIPD Approfondimenti **ruolo tamponature** UNINA, **nuovi archetipi** da altre UR

Sviluppo del modello MARS-Scuole nello stato rinforzato

Censimento degli interventi più diffusi (tradizionali e moderni)

A partire dai database a disposizione delle UR, analisi delle pratiche edilizie riguardanti la progettazione di interventi di miglioramento

o adequamento di edifici scolastici esequiti sul territorio italiano

				Den	ominazione e localizzazione								
Г		iale a izione	Ordine e grado	Se altro specificare	Denominazione / Codice	Localizzazione (Comune)	Zona sismica (da ag NTC)	Norma e anno di classificazione sismica del Comune	Caratteristich e del suolo	Pianta piano tipo	Epoca costruzion e	Numero di piani FT	Altezza PT
		generale - metrico - xnomico -	SCUOLA PRIMARIA		Corpo A		3	OPCM 3274/2003	С		2001	3	3.3
١	JniGE	Piante con localizzazione degli interventi	SCUOLA PRIMARIA		Corpo B	Bolsena (YT)	3	OPCM 3274/2003	С		2001	3	3.3
UniG	JniGE	Relazione generale - Computo metrico - Quadro economico	ALTRO	Palestra		Borgo Velino (RI)	2	FIDL 431/1927 - L 1684/1962	В		1982	1	5
ı	JniGE	Relazione generale - Computo metrico -	ALTRO	Istituto comprensivo (Scuola dell'infanzia,	Edificio 2 - Mensa	Castel Giorgio (TR)	3	L 1684/1962	В		2001	1	>4,5
ı	JniGE	Quadro economico	SCUOLA INFANZIA	Primaria, Secondaria del I ordine e Mensa)	Edificio 3 - Scuola dell'infanzia	Castel Giorgio (TR)	3	L 1684/1962	В		2006	1	>4,5
ı	JniGE	Relazione generale - Computo metrico - Quadro economico - Piante con	ALTRO	Complesso palestra- spogliatoi	Palestra	Castiglione in Teverina (VT)	3	OPCM 3274/2003			1982	1	8.95
ı	JniGE	Relazione generale - Computo metrico - Quadro economico - Piante con	SCUOLA SECONDARIA DI PRIMO GRADO			Fonte Nuova (FIM)	2	OPCM 3274/2003	С		1980-1986	3	3.35
ı	MiGE	Relazione generale - Computo metrico - Quadro economico -	SCUOLA SECONDARIA DI SECONDO GRADO	Corpi Aule e Laboratori di un Istituto Tecnico	Corpo A	Arpino (FR)	2	L 1684/1962	В		1984	4	3.5
ı	MGE	Piante con localizacione degli SCUOLA SECONDARIA DI SEI interventi	SCUOLA SECONDARIA DI SECONDO GRADO	per Chimici	Corpo B	capano (FR)	2	L 1684/1962	В			3	3.5
ı	MGE		ISTITUTO COMPRENSIVO		Corpo A		3	OPCM 3274/2003	С			3	
											1		

									,	crticui i	oud ocu	ing sys	CIII
		No intervention	Increased strength - piers	Increased strength - spandrels	Steel closing frame of openings	OOP failure prevention	Wall-to-wall connection	Masonry monolithicity	No intervention	Increased strength - columns	Increased strength - walls	Increased strength - joints	Increased strength - beams
	No intervention	-	8%	8%	-	-	8%	8%	-	52%	-	19%	44%
-	F-Wall-to-diaphragm connection	8%	8%	8%	-	-	-	-	-	11%	-	11%	19%
	F- Structural strengthening / Diaphragm stiffening with RC slab	8%	58%	58%	8%	8%	17%	-	-	19%	-	15%	26%
	F-Elimination of horizontal thrusts	-	8%	8%	8%	-	8%	-	-	-	-	-	-
	R-Wall-to-diaphragm connection	-	33%	33%	8%	8%	8%	8%	-	-	-	-	-
	R- Structural strengthening /Diaphragm stiffening with RC slab	-	8%	8%	-	8%	-	-	-	4%	-	4%	7%
	R-New roofing system	17%	42%	42%	8%	8%	8%	8%	-	-	-	-	-

Masonry structures (URM) - Vertical structures

Reinforced concrete structures (RC)

Vertical load bearing system

Struttura della scheda definita da UniGE e UniBAS

Una prima versione del database è stata elaborata da UniGE, UniBAS e POLIMI

La scheda è attualmente a disposizione delle altre UR che stanno provvedendo alla compilazione

Definizione di un file di raccolta dati standardizzato per far convogliare le informazioni in un unico database



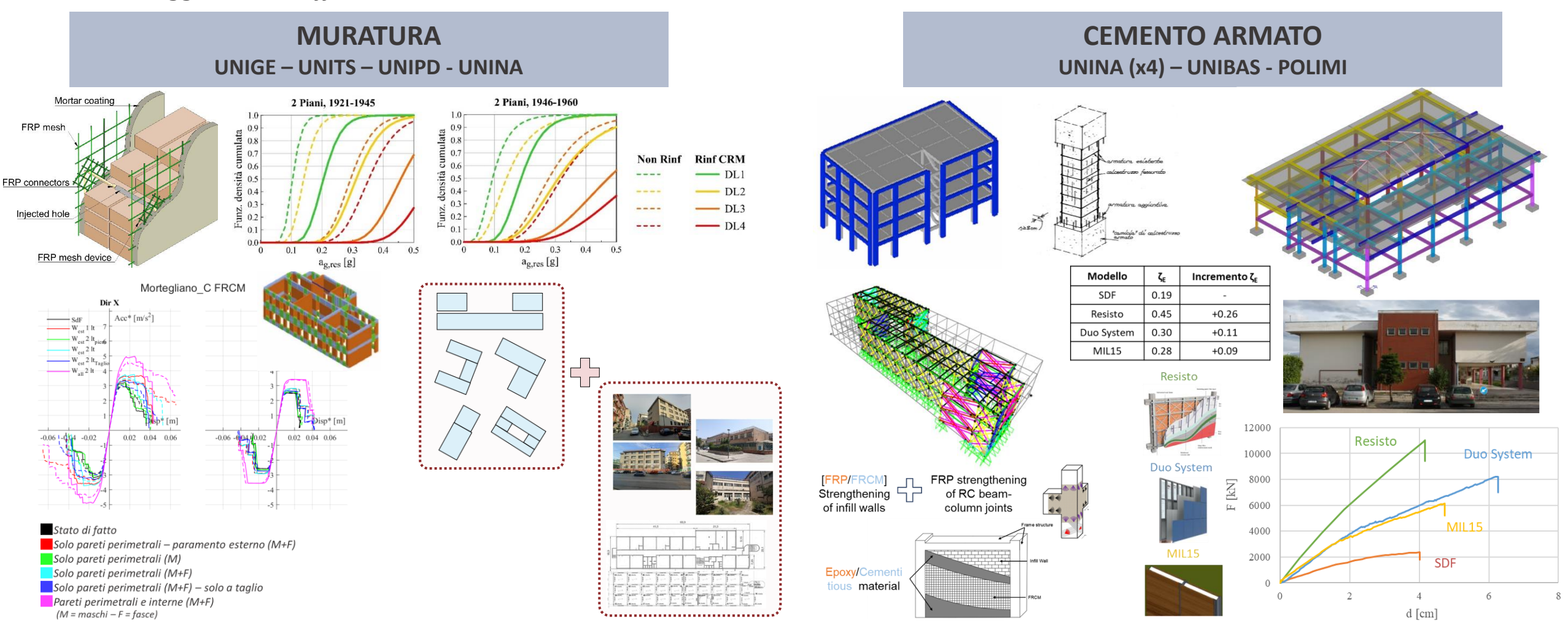
Task 4.5 – Esposizione/Vulnerabilità scuole e ospedali (S. Cattari)



9 UR lavorano sulle SCUOLE

Sviluppo di curve di fragilità nello stato rinforzato

Aggiornamento del set di edifici archetipo e analisi degli stessi nella configurazione consolidata a partire dalle tecniche rilevate come maggiormente diffuse a scala nazionale – **tutte le UR sono coinvolte in tale attività**





Task 4.5 – Esposizione/Vulnerabilità scuole e <mark>ospedali</mark> (S. Cattari)

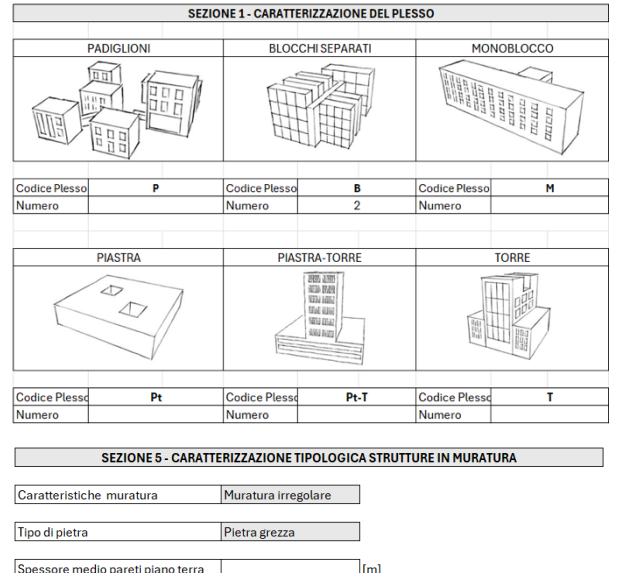


8 UR lavorano sugli OSPEDALI

Nuova scheda di censimento tipologico delle infrastrutture ospedaliere

Definizione di una scheda per la raccolta dati in-situ sulla base di quanto già disponibile in letteratura in modo da rilevare le caratteristiche tipologiche specifiche del costruito ospedaliero

- Sez. 0 Informazioni generali e localizzazione
- **Sez. 1** Caratterizzazione del plesso
- Sez. 1.1 Organismo edilizio rilevato
- Sez. 2 Dati identificativi unità strutturale
- Sez. 3 Dati metrici
- **Sez. 4** Caratterizzazione tipologica strutture in cemento armato
- **Sez. 5** Caratterizzazione tipologica strutture in muratura
- **Sez. 6** Caratterizzazione tipologica strutture in acciaio
- **Sez. 7** Caratterizzazione tipologica componenti non strutturali



- 1	
	- /

Sviluppo della **tassonomia per l'edilizia ospedaliera** finalizzata alla selezione di archetipi per la derivazione di curve di fragilità tipologiche

EDILIZIA SCOLASTICA

- TIPOLOGIA COSTRUTTIVA
- NUMERO DI PIANI
- EPOCA DI COSTRUZIONE
- AREA DI PIANO
- PROGETTAZIONE (GRAVITAZIONALE/SISMICA)

EDILIZIA OSPEDALIERA

- + ORGANISMO EDILIZIO (composizione del complesso)
- + SERVIZI / OPERATIVITA' (funzione principale che governa la valutazione del rischio)
- + COMPONENTI NON-STRUTTURALI (correlazione in termini di conseguenze)

Macrocategoria 1. Elementi architettonici Partizioni STRUTTURA DELLA SCHEDA DEFINITA DA UNIGE, Partizioni in lateri Partizioni in carte Partizioni in legne Partizioni in legne Partizioni on par Partizioni on par Partizioni con par Altre tipologie: SEZIONE 7- CARATTERIZZAZIONE TIPOLOGICA ELEMENTI NON-STRUTTURALI INSENZA di danni pregressi UNIBAS, UNIMOLE UNISALENTO. LA SCHEDA È Altre tipologie: PARTIZIONI ON PARTE DELLE UR Altre tipologie:



Task 4.5 – Esposizione/Vulnerabilità scuole e <mark>ospedali</mark> (S. Cattari)



Analisi dei dati a disposizione delle UR

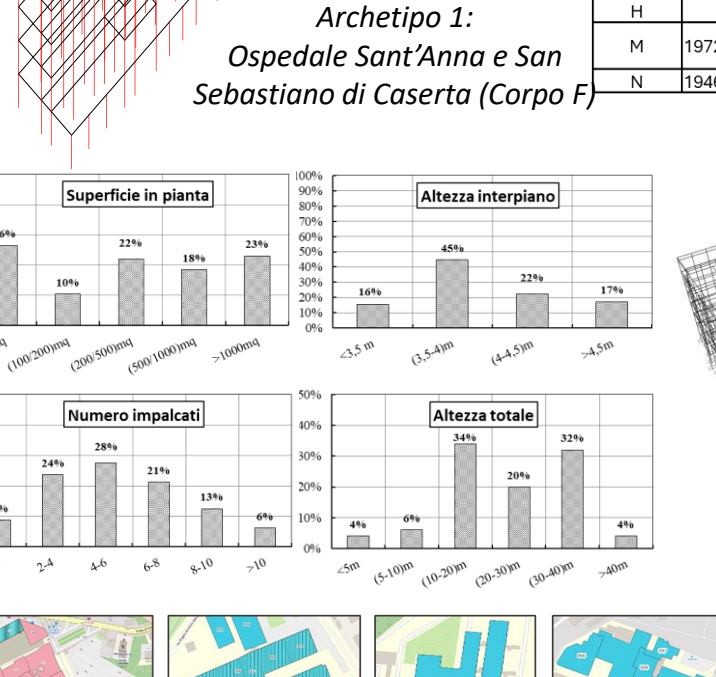
- Verifica ed eventuale rettifica delle caratteristiche tipologiche patrimonio edilizio ospedaliero introdotto piattaforma IRMA-Ospedali mediante le fonti disponibili alle **UR** coinvolte
- Compilazione della scheda per la raccolta dati in-situ in modo da rilevare le caratteristiche tipologiche specifiche del costruito ospedaliero
- Definizione e analisi degli edifici archetipo selezionati dai database a disposizione delle UR e avvio delle analisi











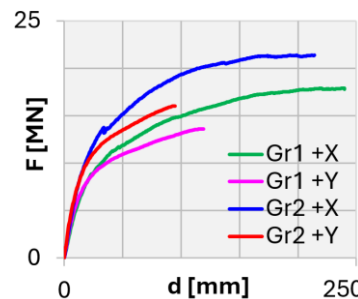
Edificio M1

8 UR lavorano sugli OSPEDALI

Casi studio a Borgomanero (NO)

Edificio	Epoca	Unità Str.	Tecnologia	N° Piani	Sup. [m²]
Α	1972-1981	Α	CA	8	700
С	ante 1919	O	MUR	4	1000
D	1972-1981	D1	CA	3	173
D	1972-1981	D2	CA	3	357
		G1	ACC	3	484
	1972-1981	G2	CA	3	425
		G3	CA	2	255
G		G4	CA	3	200
		G5	MUR	2	160
		G6	CA	2	50
		G7	CA	4	180
Н	1	Ι	CA	5	375
М	1972-1981	M1	CA	2	280
1*1	1972-1981	M2	CA	2	285
N	1946-1960	N	CA	4	650

Es. Padiglione 1 (Udine)



Trieste



S.Daniele

Gemona





ALLARGARE IL DATABASE DI IRMA VALORIZZANDO LE ATTIVITÀ CONDOTTE IN CARTIS



86827 chiese

Dati 86827 Chiese

DADO Chiese







ARRICCHIRE i dati tipologici presenti in IRMA con le informazioni raccolte tramite le schede CARTIS CHIESE















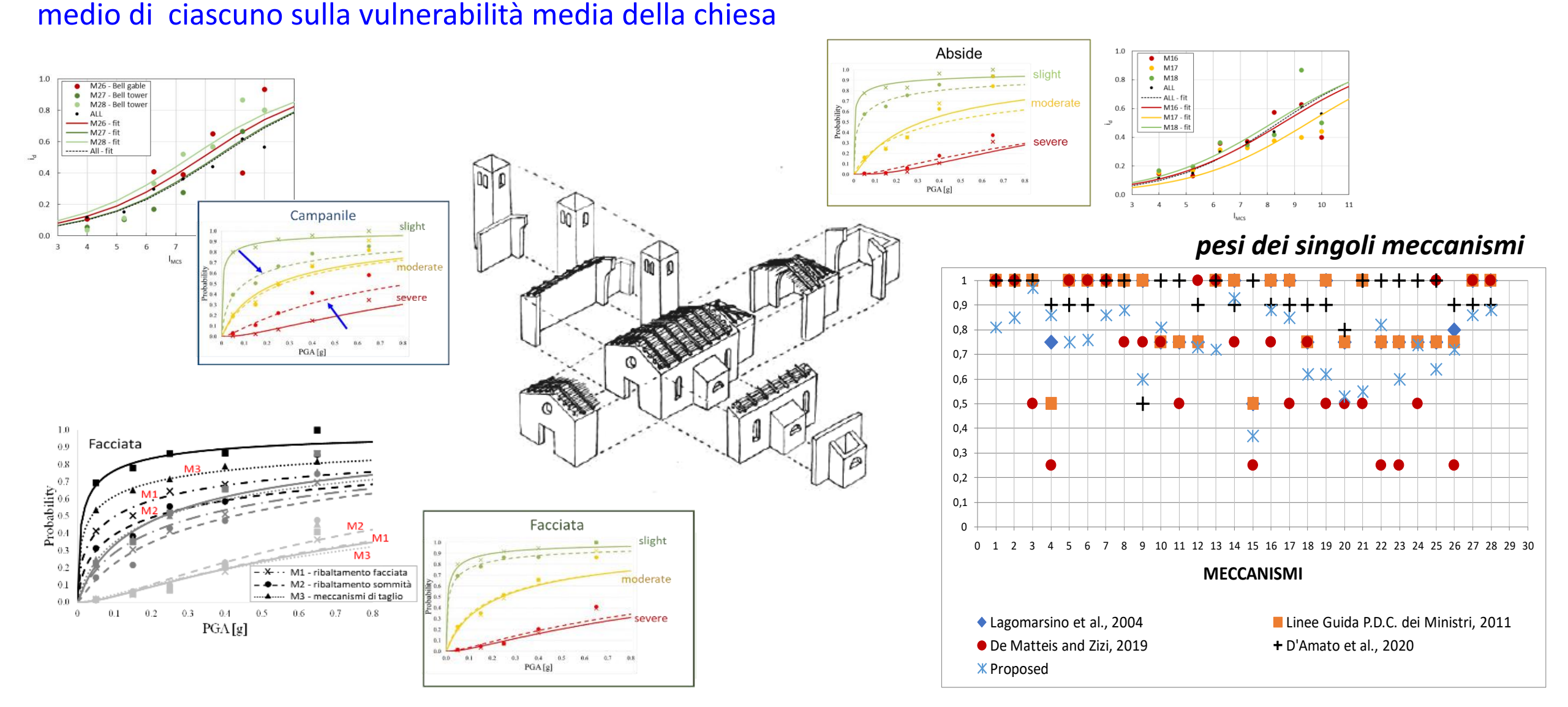
SVILUPPO DI CURVE DI FRAGILITÀ TIPOLOGICHE GLOBALI

mediana	μ[g] DS1	μ [g] DS2	μ [g] DS3	μ[g] DS4	μ [g] DS5	
UniCAMP	0.100	0.194	0.375	0.726	1.405	0.75
UniNA	0.096	0.214	0.283	0.442	0.586	pillità
UniCH	0.038	0.090	0.168	0.307	0.729	Probabilità 0.0 8.0 9.0 9.0 9.0 9.0 9.0 9.0
UniPV	0.052	0.194	0.409	1.087	2.779	0.25 DS1 0.25 DS2
UniGE	0.078	0.182	0.424	0.991	2.316	
chiese a complessi	i tà bassa UniC	:AMP	Probabilità 0.75 0.50			PGA [g] 0.75 DS4 0.75 DS5 PGA [g]
	·UniN ·······UniC - · - UniF	NA CH	0.25	0.2 0.4	DS3	0.25 0.8 0 0.2 0.4 0.6 0.8 0 0.2 0.4 0.6
				PGA	[g]	PGA [g] PGA [g]





APPROFONDIMENTO SUL RUOLO DEI MACRO-ELEMENTI E MECCANISMI per arrivare alla definizione del peso



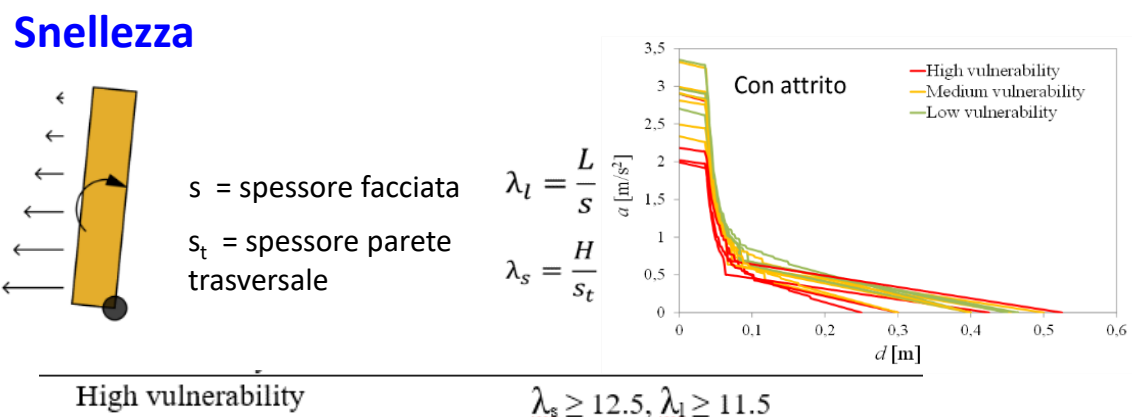




0 0 0 7 0 F. Q Q

1112

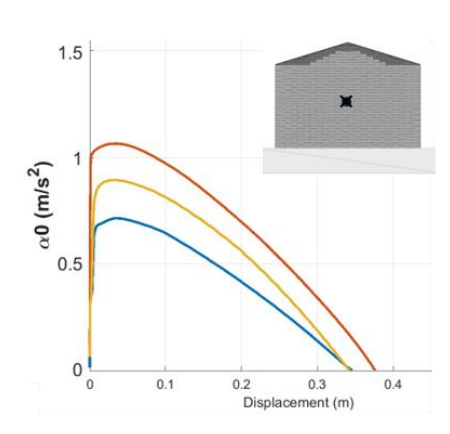
APPROFONDIMENTO SU PARAMETRI TIPOLOGICI

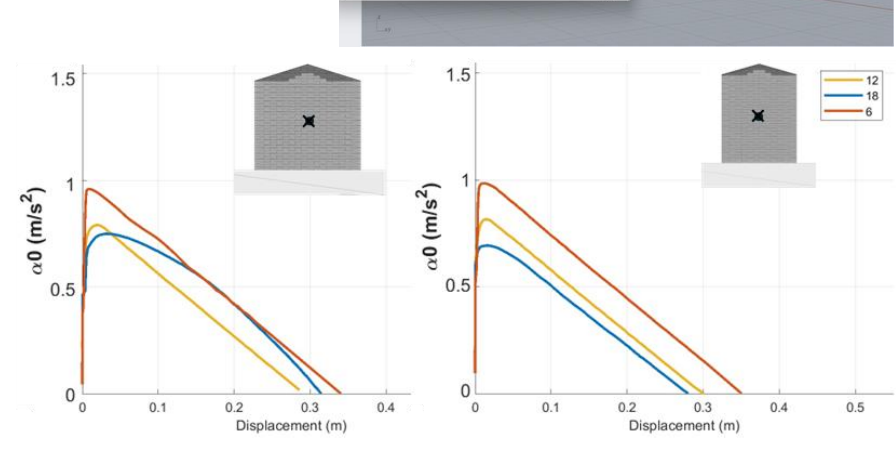


High vulnerability	$\lambda_{\rm s} \geq 12.5, \lambda_{\rm l} \geq 11.5$
Medium vulnerability	$\lambda_{\rm s} < 12.5, \lambda_{\rm l} \ge 11.5 \text{ or } \lambda_{\rm s} \ge 12.5, \lambda_{\rm l} < 11.5$
Low vulnerability	$\lambda_{s} < 12.5, \lambda_{1} < 11.5$

Forma facciata

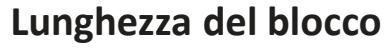
G = 0.7 • G = 0.5 • G = 0.3 •

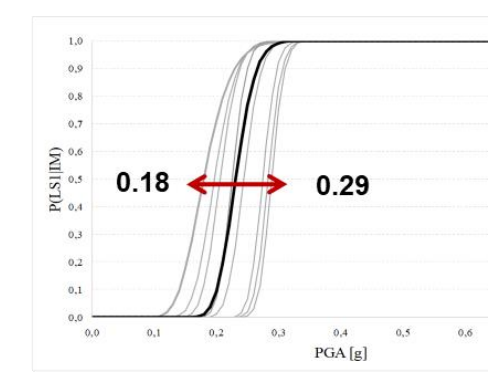




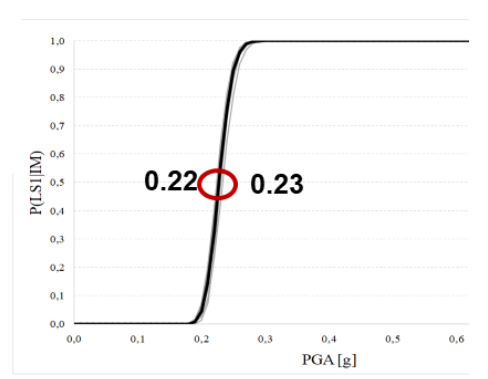
Altri parametri

Jength of unit



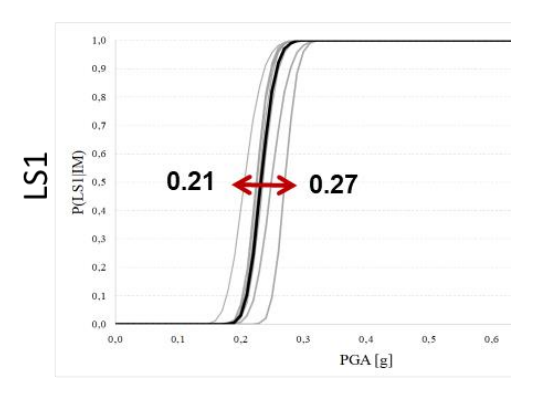


Coefficiente di attrito



LS1

Posizione del centro delle masse





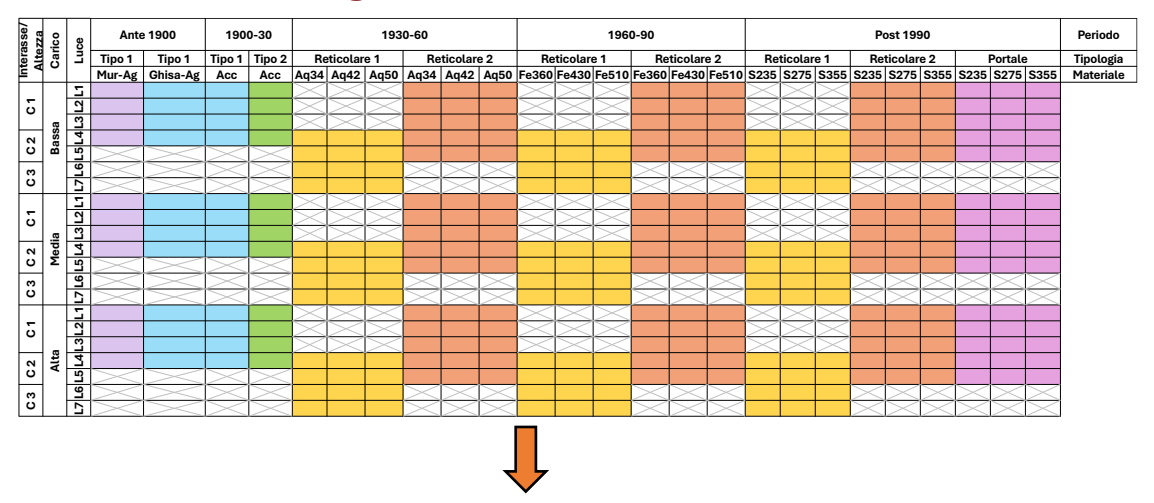
Task 4.7 – Esposizione/Vulnerabilità capannoni (R. Landolfo, R. Nascimbene)



Attività UNINA (R. Landolfo, G. Di Lorenzo, A. Formisano)

Curve di fragilità di capannoni monopiano in acciaio

Programma di simulazione



Curve di fragilità empiriche e analitiche

Dir. Y - Schema a controventi conc. – Eq. metodo empirico

$$P(d_s \ge d_{si}/PGA) = \varphi[(1/\beta_{ds}) \bullet ln(ag/ag_{dsi})]$$

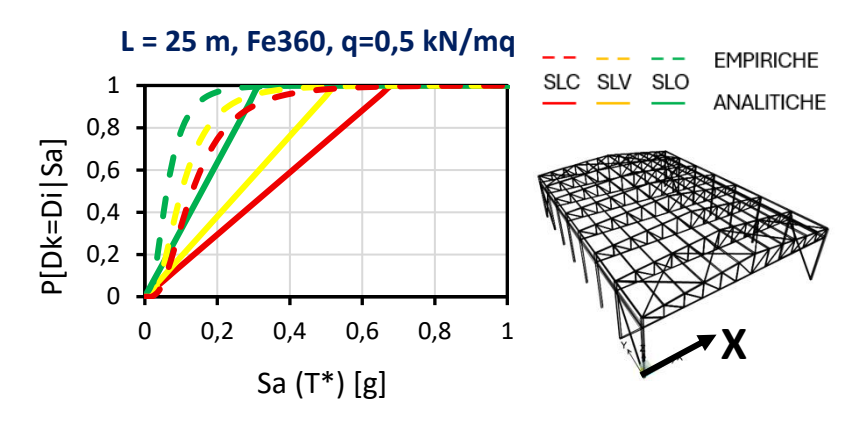
In direzione trasversale (X), dove lo schema sismo-resistente è a pendolo inverso, i risultati del metodo empirico sono meno conservativi rispetto al metodo analitico. Si propongono i seguenti coefficienti correttivi nella formulazione empirica:

Dir. X - Schema a pendolo inverso – Modifica eq. metodo empirico

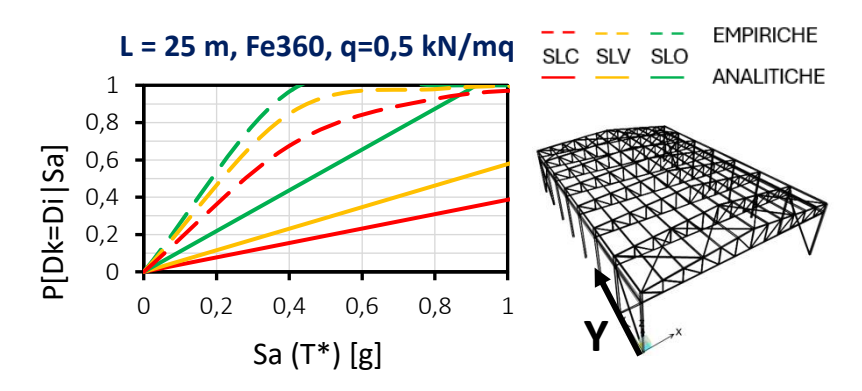
$$P(d_s \ge d_{si}/PGA) = 0.65 \bullet \varphi[(1/\beta_{ds}) \bullet ln(ag/ag_{dsi}) + 2.5]$$

Esempio: Reticolare 1, anni 1960-1990

Direzione X – Curve con coeff. correttivi



Direzione Y – Curve senza coeff. correttivi



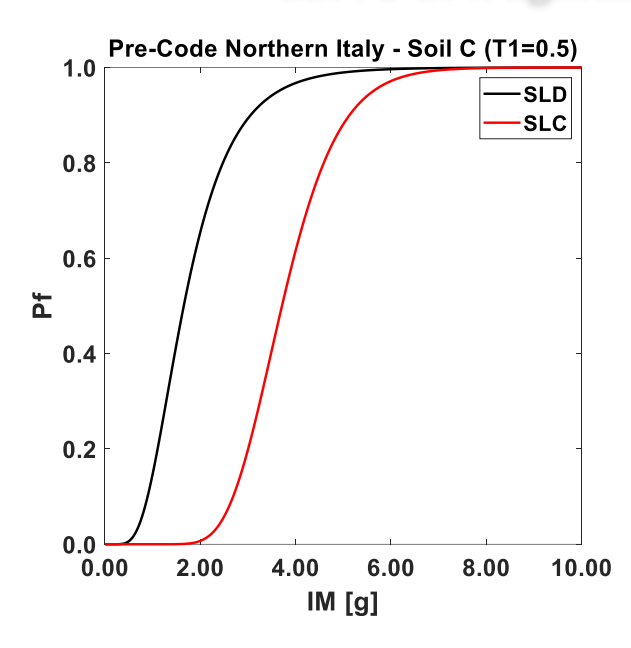


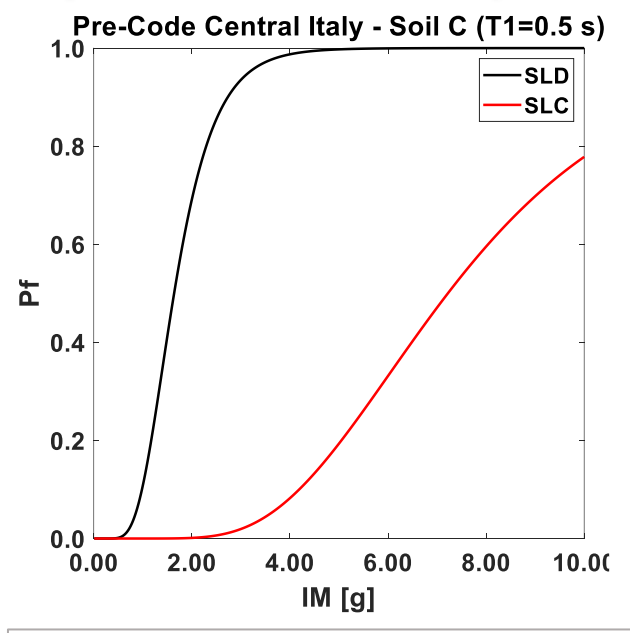
Task 4.7 – Esposizione/Vulnerabilità capannoni (R. Landolfo, R. Nascimbene)

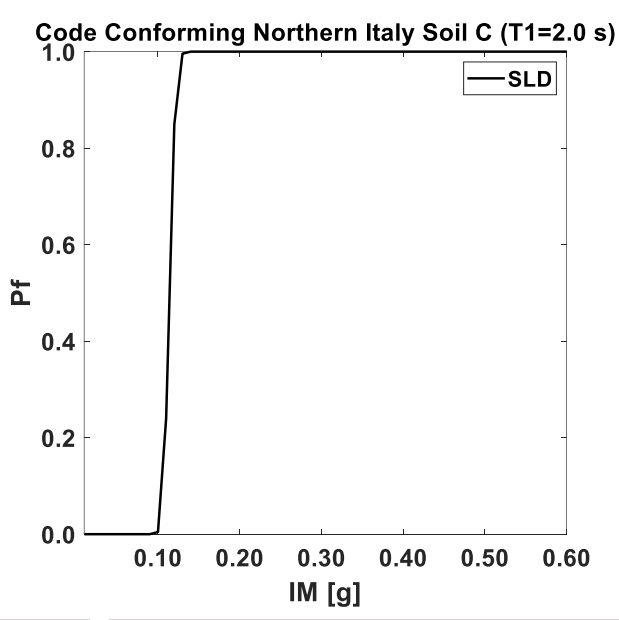


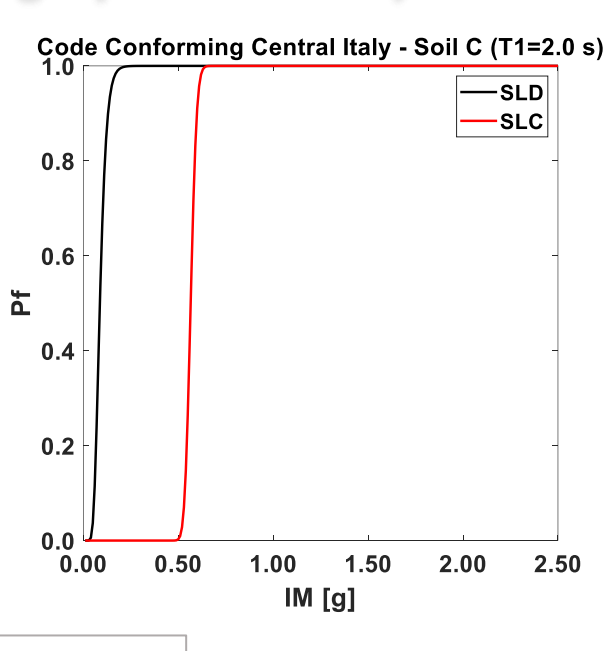
Attività IUSS (R. Nascimbene)

Curve di fragilità di prefabbricati monopiano (regionalizzazione delle tipologie prefabbricate)



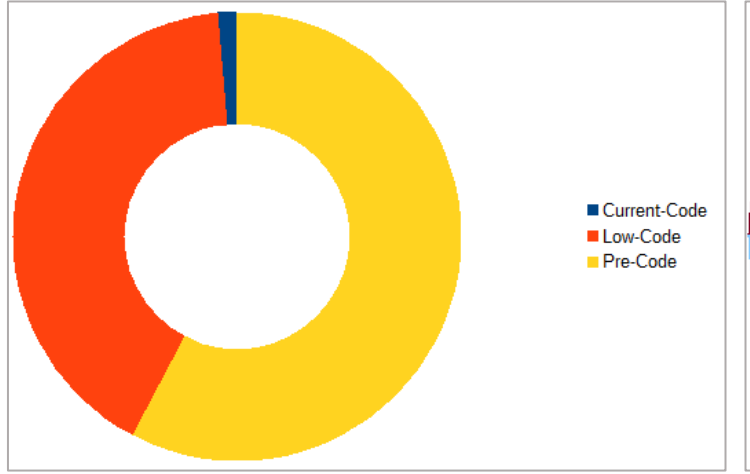


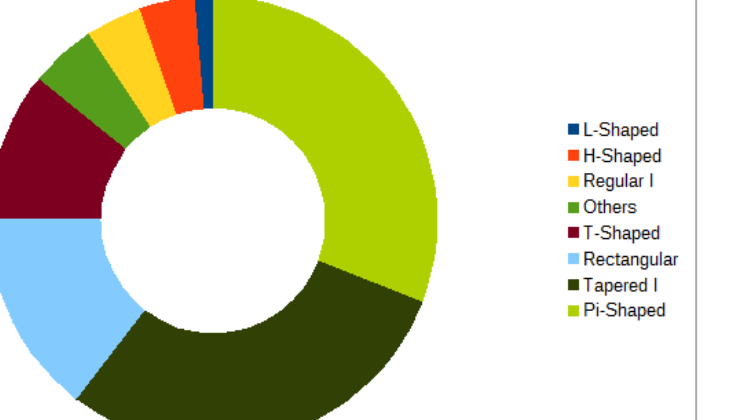




Databases impiegati:

- Database Toscana
 602 capannoni (Toscana)
- DPC/ReLUIS/EUC Database
 41 strutture (Multiple reg.)
- Database Emilia-Romagna
 42 strutture (E. Romagna)





Criteri di classificazione

- Distribuzione regionale e sub-regionale
- Tipologia travi
- Lunghezza travi
- Anno di costruzione
- Zona sismica
- Codice di progettazione
- tipologia



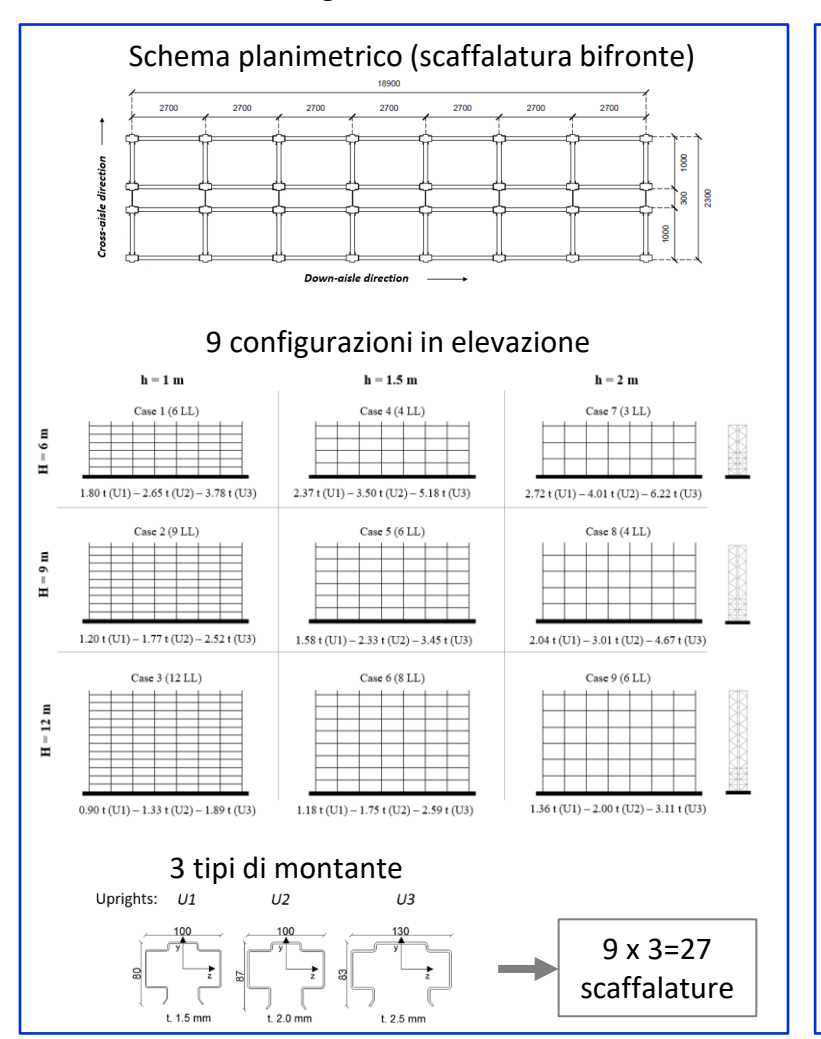
Task 4.7 – Esposizione/Vulnerabilità capannoni (R. Landolfo, R. Nascimbene)

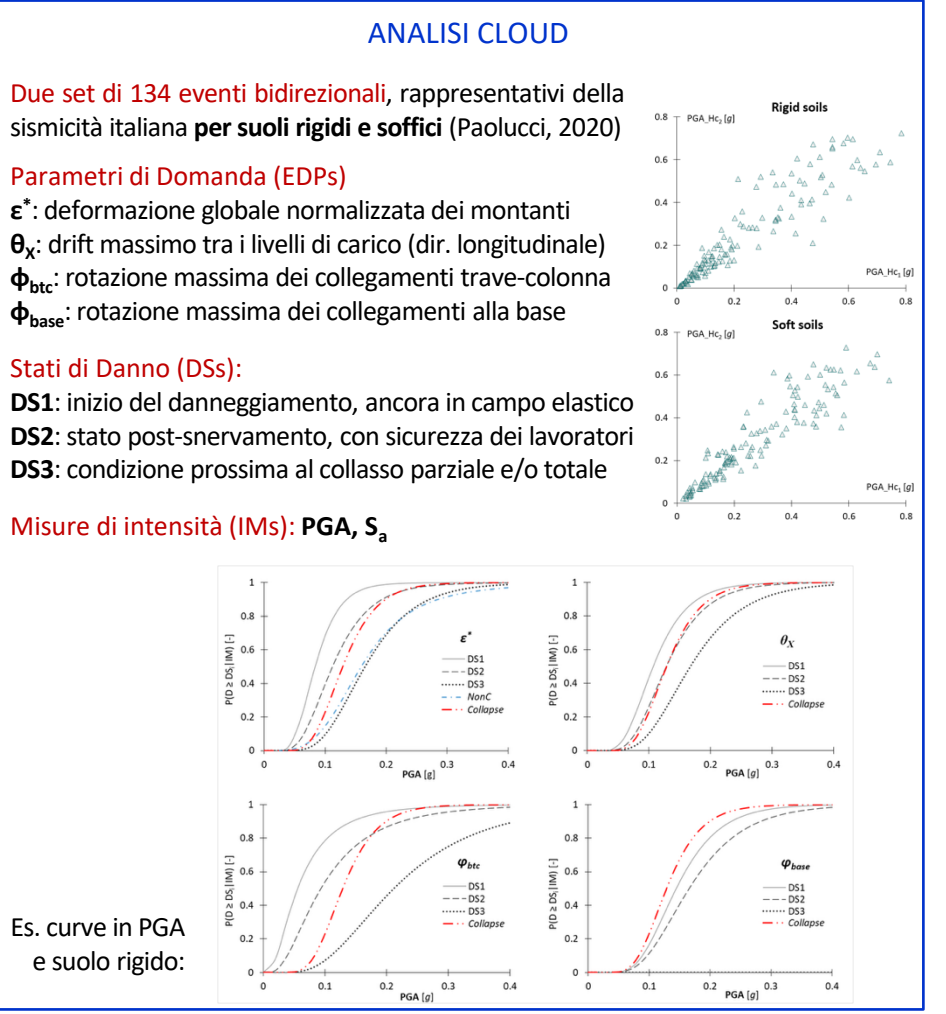


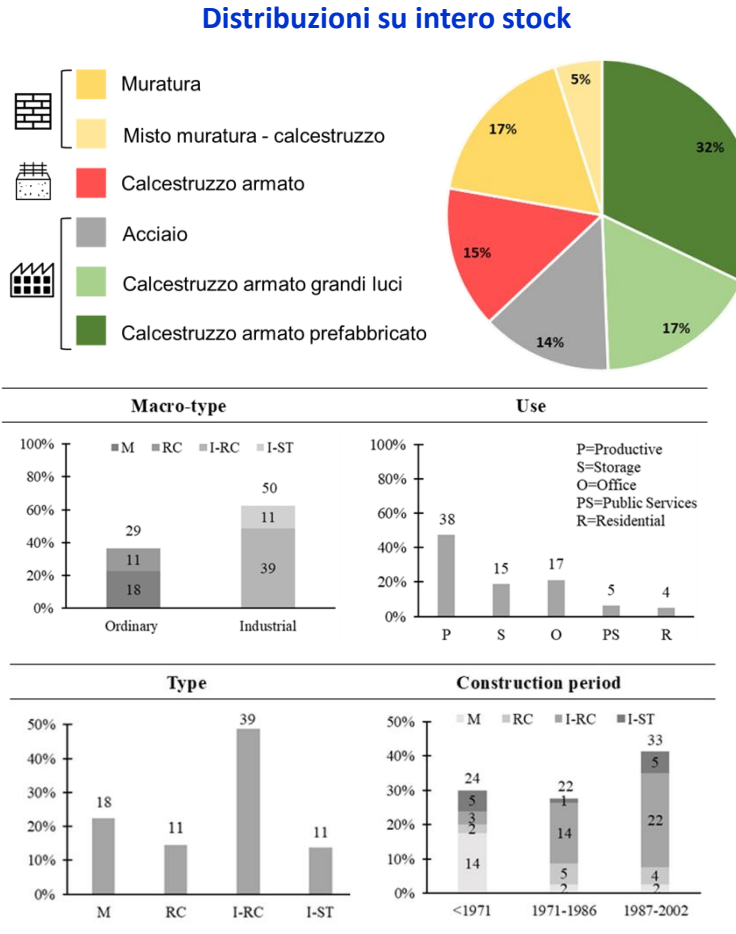
Attività UNIPD (F. da Porto, M. Donà, E. Saler, M. Gaspari, M. Ceresara, L. Tosolini)

Attività 1: definito e implementato il framework di calcolo parametrico per derivare la fragilità sismica di uno stock di scaffalature porta-pallet rappresentativo del contesto italiano; modelli di fragilità basati su diversi EDPs e IMs

Attività 2: Sistematizzazione delle informazioni da rilievi in sito – su edifici industriali di un gestore privato nell'ambito dei trasporti pubblici nella Regione Toscana – e compilazione delle relative schede *CARTIS*. Prime analisi di distribuzione dei parametri tipologico strutturali





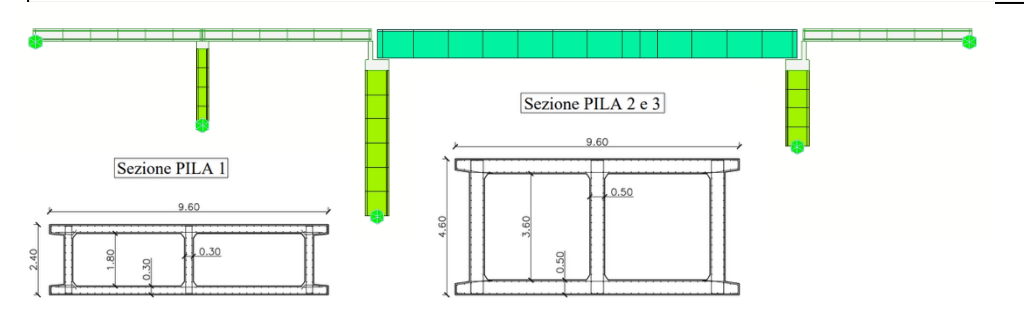




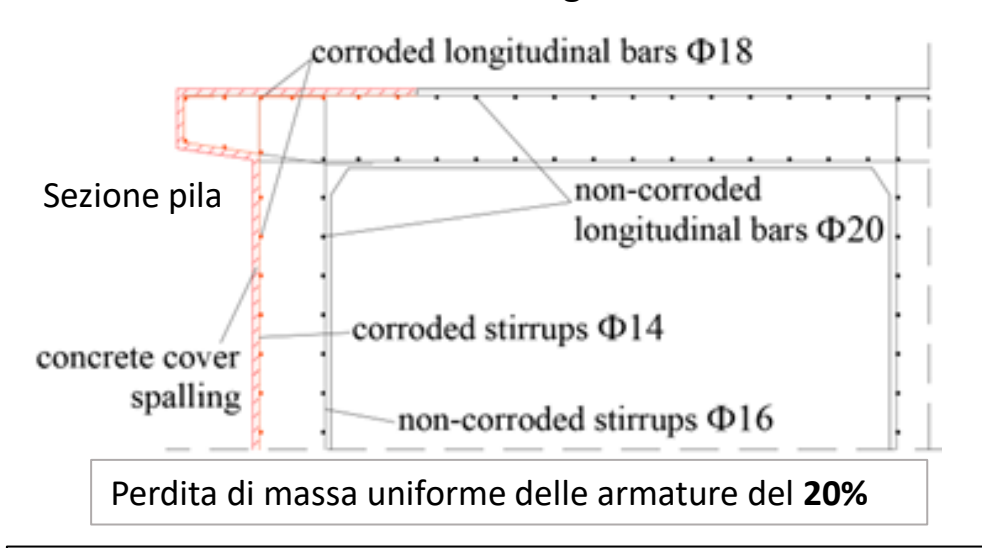


Attività UNIBAS (A. Masi, Giuseppe Santarsiero, Vincenzo Manfredi, Valentina Picciano, Rosalba Gaetano)

Influenza della corrosione delle pile sul comportamento sismico del viadotto Rupoli, in provincia di Potenza

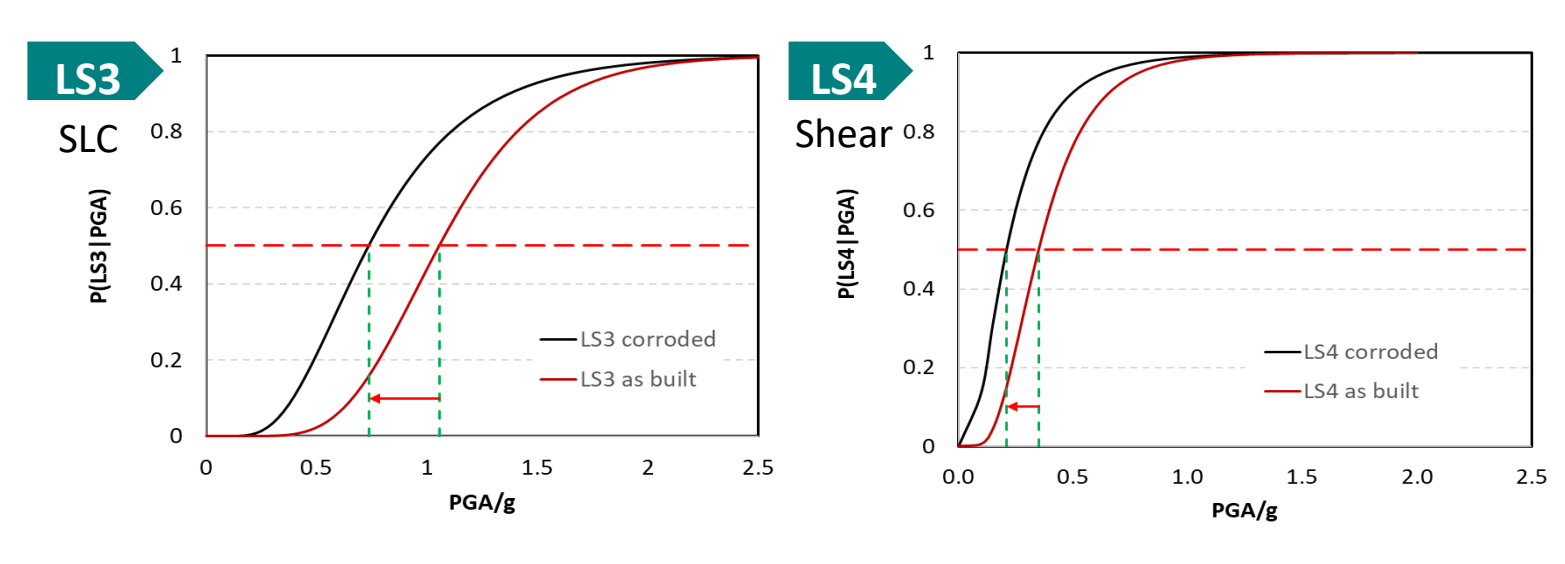


- Perdita copriferro sui lati corti e in parte sul lato lungo
- Riduzione diametro barre longitudinali e trasversali



Stati limite indagati

- LS1 SLD: corrispondente alla formazione della prima cerniera plastica;
- LS2 SLV: corrispondente al 75% di capacità rotazionale delle pile;
- LS3 SLC: corrispondente al del 100% di capacità rotazionale ultima delle pile;
- LS4 SLC-Taglio: corrispondente al raggiungimento della capacità ultima a taglio.



Santarsiero G., Masi A., Gaetano R., Picciano V. Seismic behaviour of simply supported reinforced concrete bridges with corroded piers, (2025) fib Symposium, pp. 266 - 273





Attività UNIPMa (F. Gara, S. Carbonari, L. Ragni, V. Nicoletti, R. Martini, A. Brunetti, L. Tentella)

Analisi parametrica sulla fragilità delle pile a sezione circolare

- Snellezza H/D 3-9
- Sforzo assiale normalizzato v 4-12%
- % armature longitudinali ρ₁ 0.3-1.5
- % armature trasversali ρ_w 0.5-1.2

Progetti simulati - N. casi totali: 620 (D.M. 2/8/1980, D.M. 26/3/1980, D.M. 3/3/1975, D.M. 17/01/2018)



Analisi Momento-Curvatura

- Fibre calcestruzzo: Concrete04 (Popovics)
- Fibre acciaio: SteelMPF (Menegotto e Pinto)

Analisi dinamiche non lineari

- Plasticità concentrata: ZeroLength rotazionale opportunamente calibrato
- Zona rigida: Lunghezza convenzione di cerniera plastica
- Zona elastica: Rigidezza flessionale EJ fessurata

EJ(H/D)

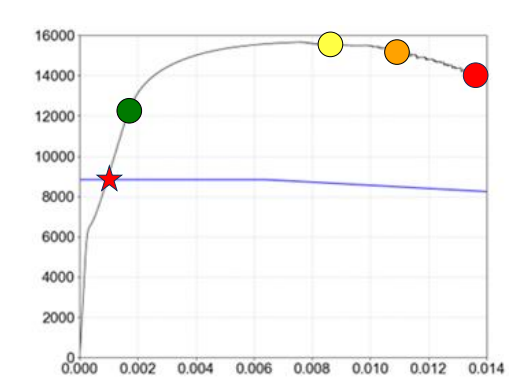
Input Layer $(H/D, \nu, \rho_{\omega}, \rho_{l})$

METODOLOGIA

- Analisi dinamiche non lineari Multiple Stripe Analysis (MSA)
- Curve di fragilità Metodo della Massima Verosimiglianza

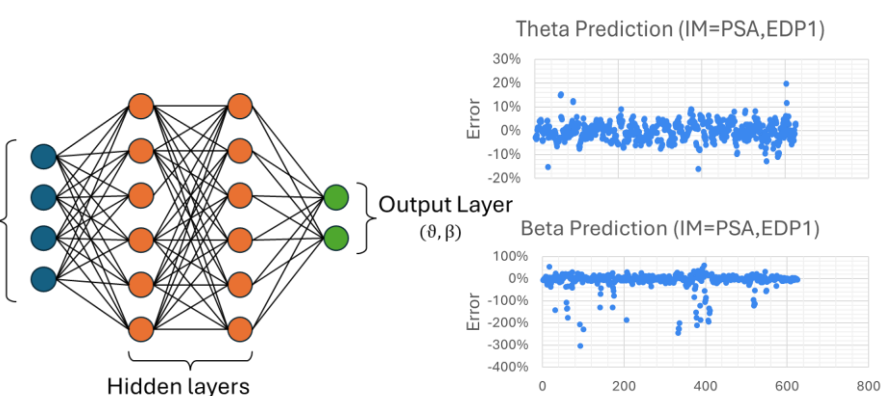
DEFINIZIONE EDPs (Spostamento in testa)

STATO DANNO	CURVATURA LIMITE
DS1	Фу
DS2 O	$min(\phi:\epsilon_c>0.004, \phi:\epsilon_s\geq0.015)$
DS3	3/4 _{\phi_4}
DS4	min(φ:M<0.9Mmax, φ:ε _s ≥0.075)
DS5 ★	φ: V <v<sub>R</v<sub>



PREDIZIONE CURVE DI FRAGILITÀ

Stima dei parametri delle distribuzioni (ϑ, β) mediante regressioni multivariate e ANN



MAPPE DI **DANNO**





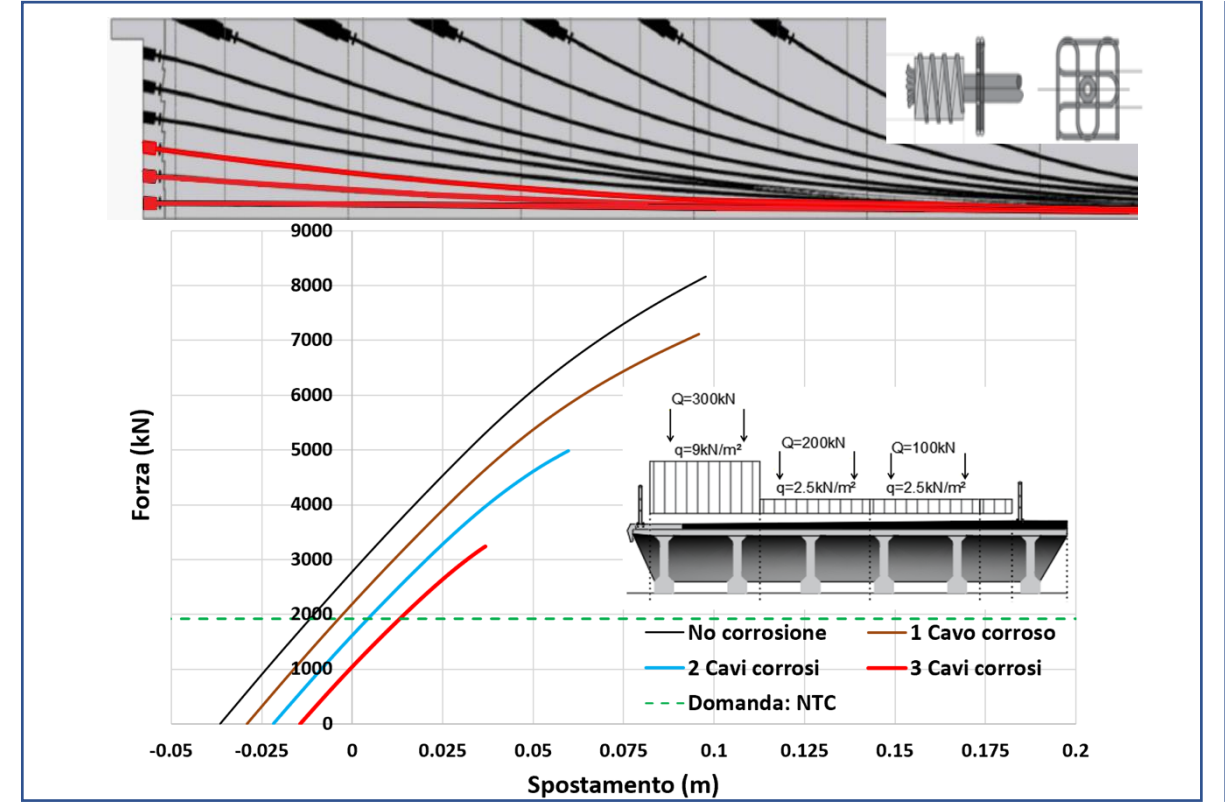


Attività UNIRoma (Nicola Nisticò, Giuseppe Gugliotta, Eugen Novruzaj, Luca Sorabella)

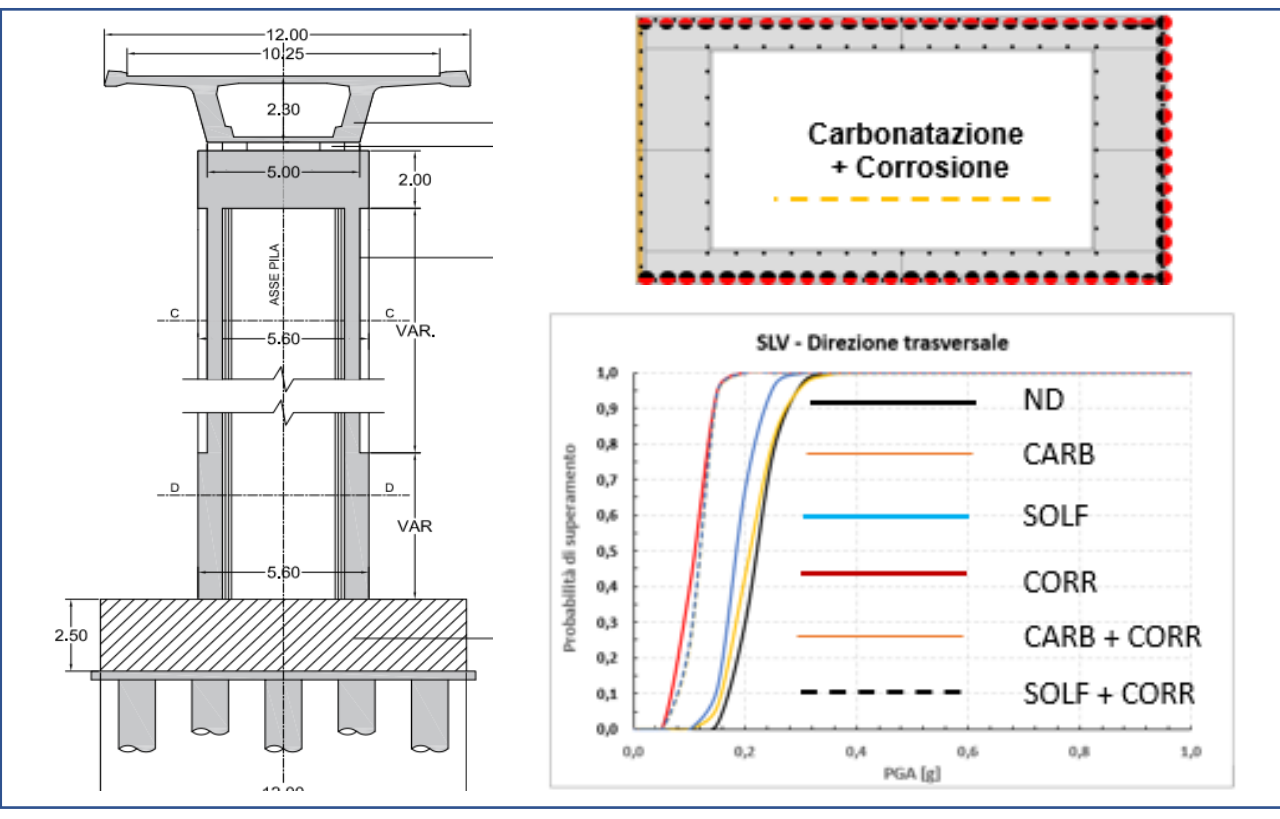
1° annualità: raccolta dati e stato dell'arte

2° annualità: selezione casi studio relativi a infrastrutture viarie autostradali: 1) pile: curve di fragilità in funzione dello stato di degrado; 2) impalcati: valutazione, tramite push-down, della capacità prestazionale in funzione di diversi scenari di traffico e stati di degrado (cavi)

A1 Fiume Melfa



A24: Villa Ilii







Attività UNINA (A. Prota, M. Di Ludovico, A. Miano) UNIPR (B. Belletti, P. Bernardi, D. Ferretti, E. Michelini)

Costruzione di curve di fragilità di pile da ponte in CA

Definizione di un approccio probabilistico implementato nella metodologia basata sul Capacity Spectrum Method (CSM), per considerare le incertezze legate alla conoscenza delle proprietà meccaniche dei materiali e della geometria della struttura. Derivazione delle curve di fragilità sismica variando le proprietà di calcestruzzo e acciaio con simulazioni Monte-Carlo.

OBIETTIVI:

- 1 Valutazione dell'effetto delle incertezze relative a: resistenze dei materiali, geometria dell'impalcato e carichi sulla probabilità di raggiungimento di uno SL di danno sia per il caso analizzato sia considerando diverse snellezze della pila.
- 2 Estensione e applicazione della metodologa probabilistica al caso di pile degradate, considerando le incertezze legate alla definizione dei parametri della corrosione.

Caso-studio: Ponte con impalcato in semplice appoggio su pila singola circolare



Anno costruzione: 1981;

Schema strutturale impalcato: semplice appoggio;

Tipo connessione pila-implacato: appoggio;

Tipologia impalcato: travi in c.a.p. a cavi post-tesi;

n° campate: 4; lunghezza max campata: 30.00 m;

Tipologia pila: singola; altezza pila: 5.50 m;

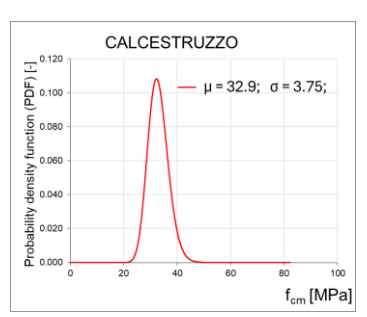
Sezione trasversale pila: circolare piena;

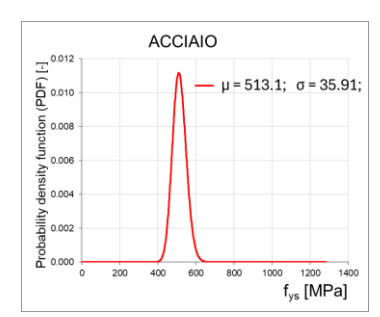
Zona sismica assunta: 2 (Napoli).





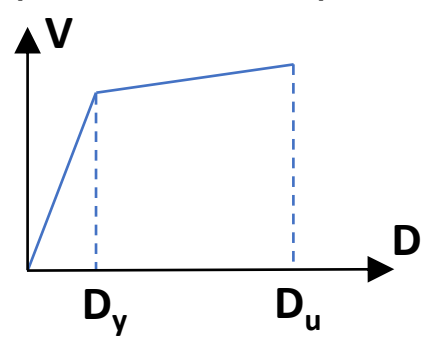
VARIABILITÀ STATISTICA PROPRIETÀ MATERIALI



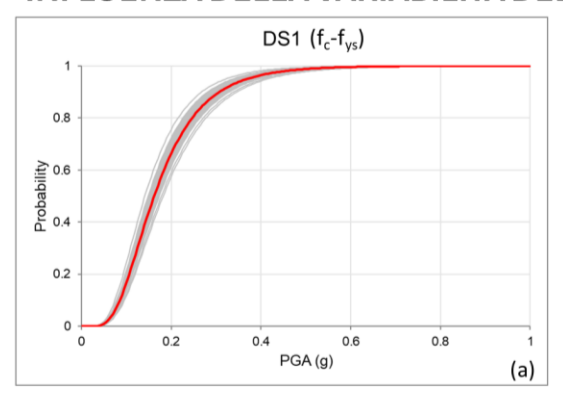


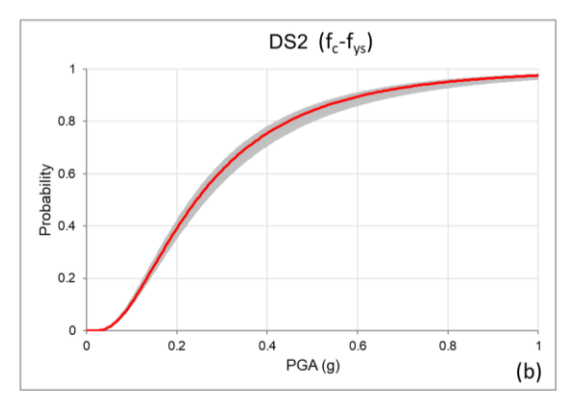
DEFINIZIONE STATI LIMITE di Danno (Moschonas, 2008)

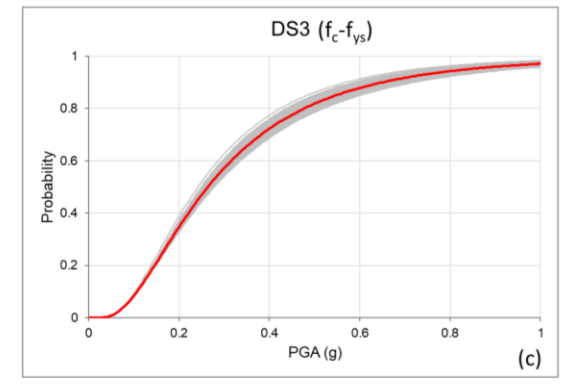
Lieve	DS1 = 0.7 Dy
Moderato	DS2 = Dy+1/3(Du-Dy)
Esteso	DS3 = Dy+2/3(Du-Dy)
Collasso	DS4 = Du

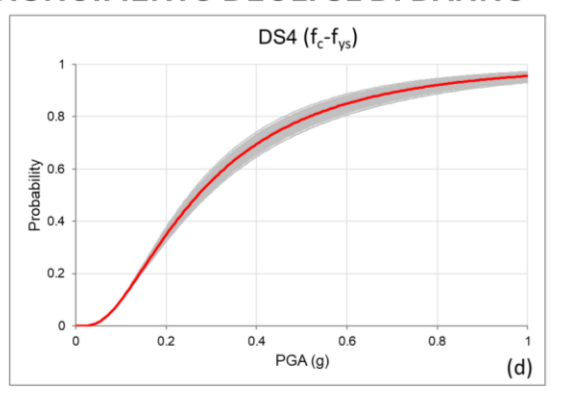


INFLUENZA DELLA VARIABILITÀ DELLA RESISTENZA DI CALCESTRUZZO E ACCIAIO SULLA PROBABILITÀ DI RAGGIUNGIMENTO DEGLI SL DI DANNO









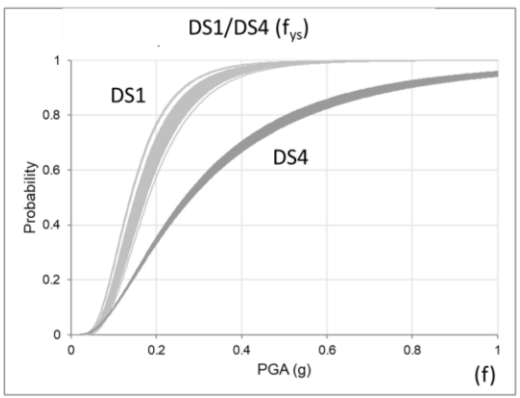
(a)-(d) e Tabella: Influenza della variazione della tensione di snervamento dell'acciaio f_{ys} e della resistenza del calcestruzzo f_c sulle curve di fragilità per i 4 SL (in rosso la curva corrispondente alle proprietà medie delle distribuzioni statistiche)

0.8	DS1				
Probability 9.0		D	S4		
0.4					
0	0.2	0.4 PGA	0.6	0.8	1

Valori min-max di PGA corrispondenti al 50% di probabilità di raggiungimento dello SL								
	DS1	DS2	DS3	DS4				
PGA _{min}	0.14g	0.230g	0.240g	0.250g				
PGA_{mean} (f_c =32.90 MPa; f_{ys} =513.10 MPa)	0.16g	0.245g	0.265g	0.270g				
PGA _{max}	0.18g	0.265g	0.280g	0.295g				
Variazione % PGA rispetto PGA _{mean}	-12.50% +12.50%	-6.12% +8.16%	-9.43% +5.66%	-7.41% +9.26%				

(e) Influenza della variazione della resistenza del calcestruzzo
(e) f_c sulle curve di fragilità per DS1/DS4

(f) Influenza della variazione della tensione di snervamento dell'acciaio f_{ys} sulle curve di fragilità per DS1/DS4





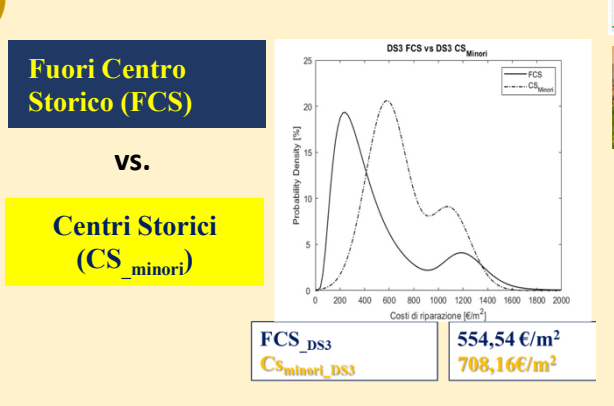
Task 4.9 – Conseguenze (M. Di Ludovico)



Funzioni di conseguenza per stima di perdite dirette ed indirette da terremoto

EDIFICI IN AGGREGATO (centri storici)

- Calibrazione su dati della ricostruzione di funzioni di conseguenza per edifici in aggregato (pratiche centri storici) e comparazione con edifici isolati
- ❖ Incidenza delle peculiarità dei centri storici sulle perdite economiche (impatto elementi di pregio e vincoli)



Implementazione in IRMA di: IRMA

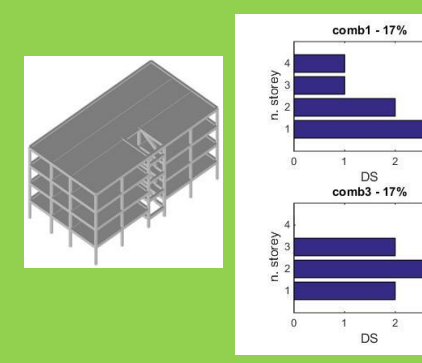


- funzioni di densità probabilità delle perdite dirette (anche tenendo conto delle specificità dei centri storici)
- aggiornamento funzioni per predizione casualties
- Integrale di convoluzione

Edifici in c.a.: <u>DIFFUSIONE E LOCALIZZAZIONE DEL DANNO DI PIANO</u>

Metodologia

- Basata su analisi dinamiche non lineari su prototipi rappresentativi.
- Utilizza distribuzioni di danno attese e costi unitari strutturali/non strutturali.
- Definisce funzioni analitiche di costo di riparazione che tengono conto di:
- danno massimo atteso
- distribuzione ed estensione danno in elevazione



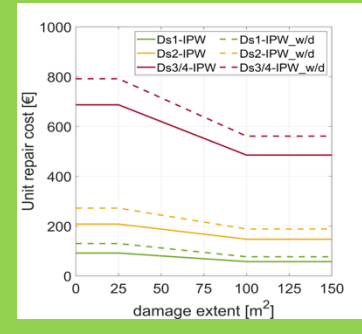
Distribuzioni di danno in elevazione (DS_{max}=3) ottenute da analisi dinamiche non-lineari su prototipi, utilizzando i segnali definiti nel Task 4.2-Pericolosità del WP4-MARS (2019-2021)

DS3 Riparazione

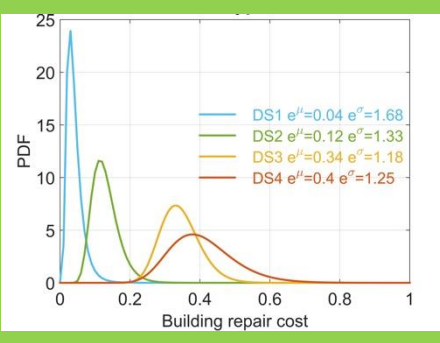
1050.99

84° percentile[€/m²

ESEMPIO TIPOLOGIA CA | 4P | 70s | GLD



Costi unitari (empirici) per la riparazione delle tamponature al variare del DS (Del Vecchio et al, 2020)



Distribuzioni (lognormali) dei costi di riparazione per DS



Task 4.9 – Conseguenze (M. Di Ludovico)

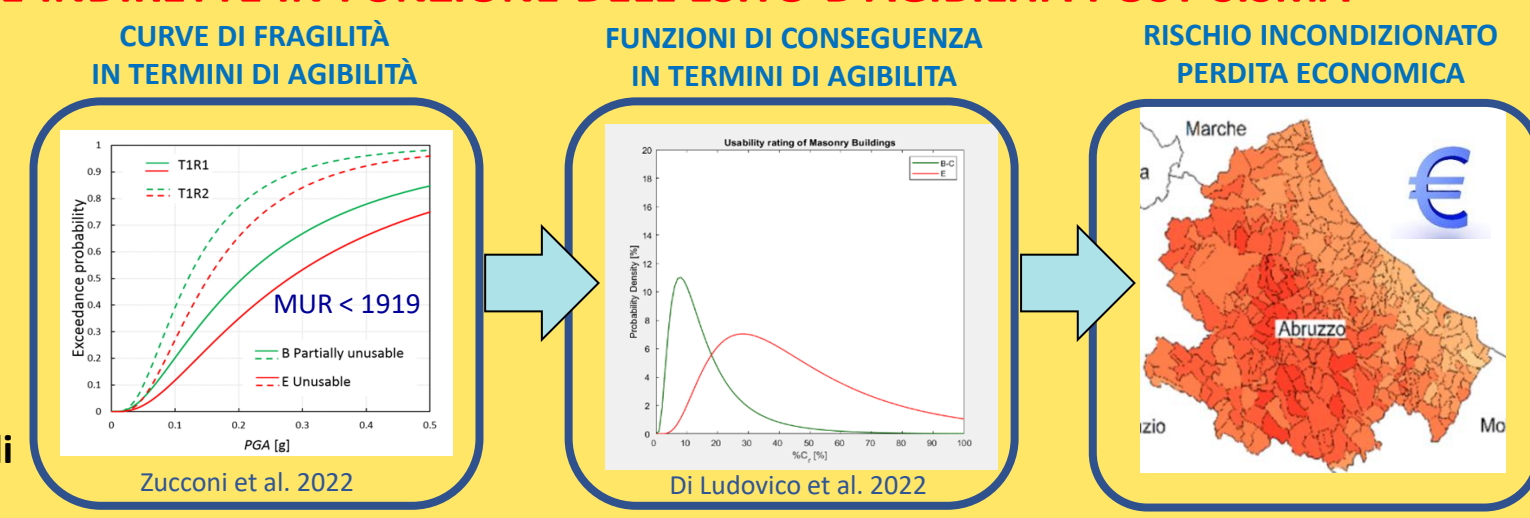


Funzioni di conseguenza per stima di perdite dirette ed indirette da terremoto

STIMA DELLE PERDITE ECONOMICHE DIRETTE E INDIRETTE IN FUNZIONE DELL'ESITO D'AGIBILITÀ POST SISMA

METODOLOGIA

- Calibrazione di curve di fragilità in termini di agibilità post-sisma per classi tipologiche di edifici residenziali in muratura e c.a.
- Definizione di funzioni di conseguenza in termini di agibilità post sisma
- ❖ Implementazione dell'analisi di rischio condizionata (scenario) e incondizionata per la stima delle perdite economiche in termini di costi di riparazione e costi di assistenza alla popolazione



PERDITE ECONOMICHE PER EDIFICI RESIDENZIALI IN FUNZIONE DELL'AGIBILITÀ POST-SISMA



	Masor	Masonry buildings				
Usability rating	A	В-С	E			
No. of buildings	2,574	778	481			
%C _r - 16 th percentile	0%	7%	23%			
%C _r - median	0%	14%	42%			
%C _r -84 th percentile	5%	25%	86%			
%C _r mean	2%	16%	52%			

	RC buildings			
Usability rating	A	В-С	E	
No. of buildings	2,421	1,402	841	
%C _r − 16 th percentile	0%	6%	24%	
$%C_r$ - median	0%	12%	43%	
%C _r -84 th percentile	4%	22%	87%	
%Cr mean	2%	14%	51%	



Validazione/Calibrazione

Stima delle **perdite economiche dirette ed indirette** per gli edifici in muratura della città di **Arischia (AQ)** in funzione della **classe tipologica** dell'edificio definita in funzione del periodo di costruzione (T1 <1919, T2: 1919-1961, T3>1961) e dello stato di riparazione (R1: ottimo/buono, R2: mediocre/pessimo)



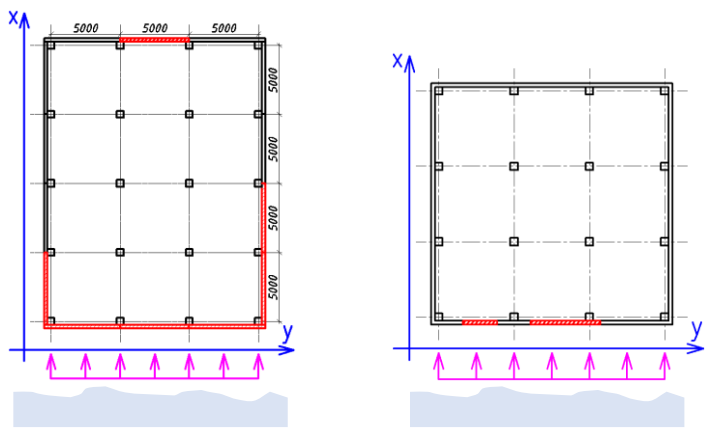
Task 4.9 – Conseguenze (M. Di Ludovico)



Funzioni di conseguenza per stima di perdite dirette ed indirette da coastal flooding e tsunami

Metodologia per edifici in CA

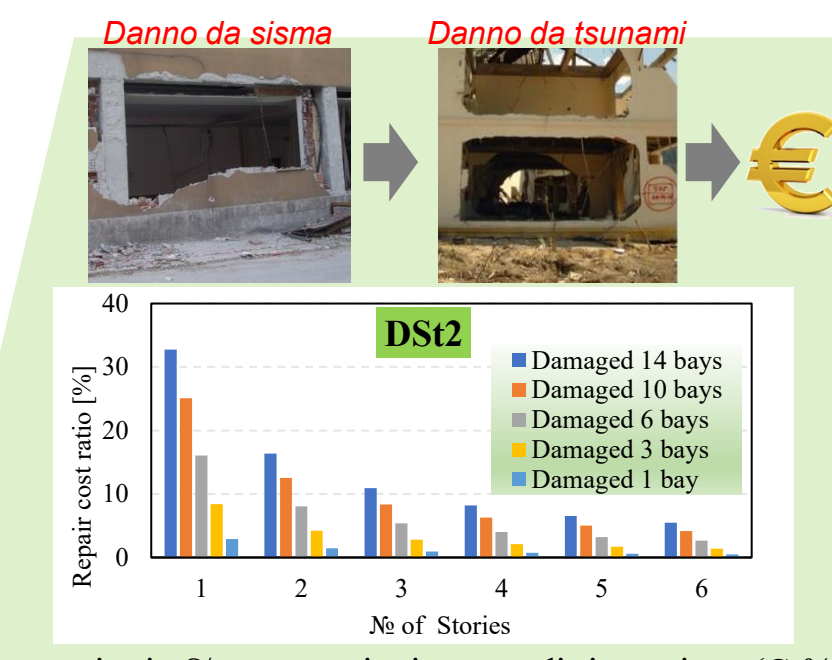
- Basata su analisi statiche non lineari su prototipi rappresentativi.
- Utilizza distribuzioni di danno attese e costi unitari strutturali/non strutturali validati su dati empirici.
- Definisce funzioni di costo di riparazione che tengono conto di:
 - livello di danno atteso
 - distribuzione ed estensione del danno



Diversi scenari di distribuzione del danno



	Classificazione del danno da sisma da scheda AeDES		Associazione livello di danno da		
Livello di		on-structura	flooding/tsunami		
danno	Estensione	Livello di	Livello di danno		
EMS-98	del danno	danno	Tsunami		
DS1	<1/3 1/3 - 2/3 >2/3	D1	DC 1		
DS2	<1/3 1/3 - 2/3 >2/3	D2 – D3	$\mathbf{DS_t1}$		
DS3	<1/3 1/3 - 2/3 >2/3	D4 – D5	DS _t 2		
	Structural elements				
DS3	1/3 – 2/3 >2/3	D2 – D3	DS _t 3		
DS4	<1/3 1/3 - 2/3	D4 – D5	DS _t 4		
DS5	>2/3	D. DS	DS _t 5		



Costo unitario €/m convertito in costo di riparazione (Cr%) per DS_t2 calibrato sui costi di riparazione da sisma

Tsunami Damage State (DSt)	DSt1	DSt2	DSt3	DSt4	DSt5
Repair cost ratio [%]	2 - 15	7 – 44	62	78	100

M. Zucconi, V. Maksimov, B. Ferracuti, M. Di Ludovico, and M. Del Zoppo, 'Coastal flooding and tsunami loss assessment: state of the art and proposal for predicting building damage and repair costs', in *COMPDYN 2025, 10th ECCOMAS*, 2025.



Task 4.10 – Valutazione multirischio per effetti sismo-indotti (A. Masi)



11 UR COINVOLTE

UniBas (Masi), PoliMi (Paolucci, Cardani, Petrini), UniCusano (Ferracuti, Guzzoni), UniFi (De Stefano), UniGe-b (Cattari), UniNa-a (Verderame), UniNa-b (Prota, Di Ludovico, Polese), UniNa-d (Parisi), UniNa-e (Cascini), UniNa-g (Formisano), UniNa-k (D'Onofrio)

OBIETTIVI

valutare l'impatto degli effetti co-sismici (frane e tsunami) sul patrimonio edilizio residenziale, in termini di possibili maggiori perdite rispetto a quelle stimate considerando il solo scuotimento

ATTIVITÀ

- Analisi degli effetti co-sismici osservati a seguito di eventi reali (DB DaDo e il DB CEDIT)
- Estensione dei modelli di vulnerabilità «combinati» ad altre tipologie rappresentative del patrimonio edilizio esistente
- Analisi delle caratteristiche geomorfologiche delle aree potenzialmente suscettibili ad effetti co-sismici
- Predisposizione di scenari di danno e conseguente valutazione delle perdite attese su un'area studio

SCENARIO DI DANNO MULTIRISCHIO AREA IRPINIA-BASILICATA SISMA 1980

METODOLOGIA

- Individuazione dell'area studio
- Analisi delle condizioni geolitologiche (pendenze, parametri geolitologiche del terreno)
- Analisi dell'esposizione (fonte ISTAT2011+CARTIS)
- Definizione dello scenario di scuotimento, anche mediante simulazioni numeriche
- Stima dell'accelerazione critica dei pendii e degli spostamenti sismo-indotti
- Derivazione di curve di fragilità «combinate»
 (ground failure + ground shaking) per le tipologie ricorrenti (c.a. e muratura)
- Preparazione dello scenario di danno e stima delle conseguenze

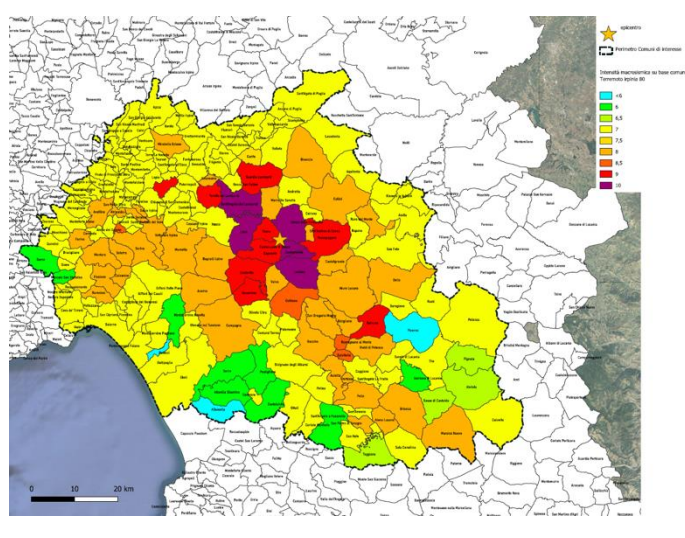


Task 4.10 – Valutazione multirischio per effetti sismo-indotti (A. Masi)



SCENARIO DI DANNO MULTIRISCHIO – AREA IRPINIA-BASILICATA SISMA 1980

INQUADRAMENTO DELL'AREA - ANALISI DELL'ESPOSIZIONE

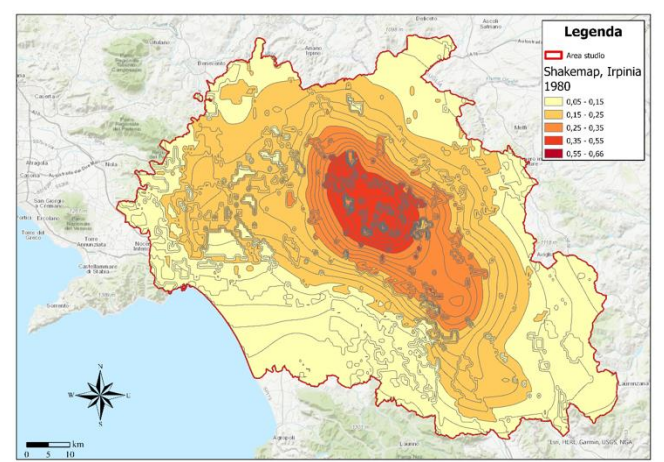


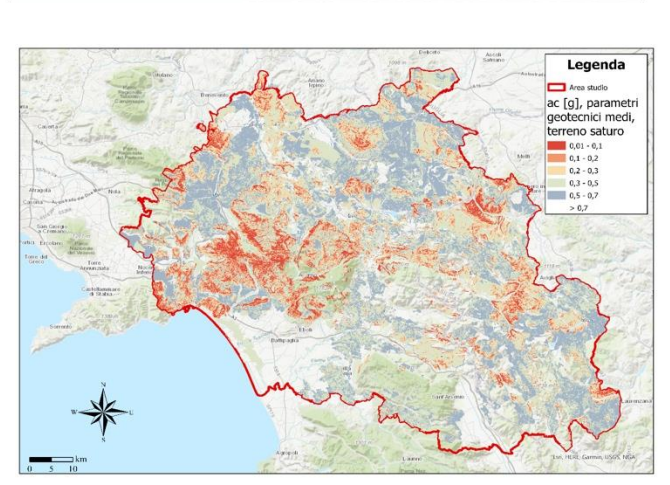
180 comuni con intensità macrosismica I_{MCS} ≥ 6 stimata a seguito del sisma Irpinia-Basilicata 1980

230.000 edifici coinvolti, considerando strutture in c.a. e in muratura (ISTAT2011)

Edifici totali per comune Str Min. 92 Max 8042 Media 1273 40% 30%

PERICOLOSITA'/EFFETTI CO-SISMICI





Shakemap in PGA, integrate da analisi numeriche «physics-based» per la determinazione di misure di intensità più efficienti.

La conoscenza delle caratteristiche geolitologiche e delle pendenze ha permesso di determinare le accelerazioni critiche dei pendii e gli spostamenti attesi.



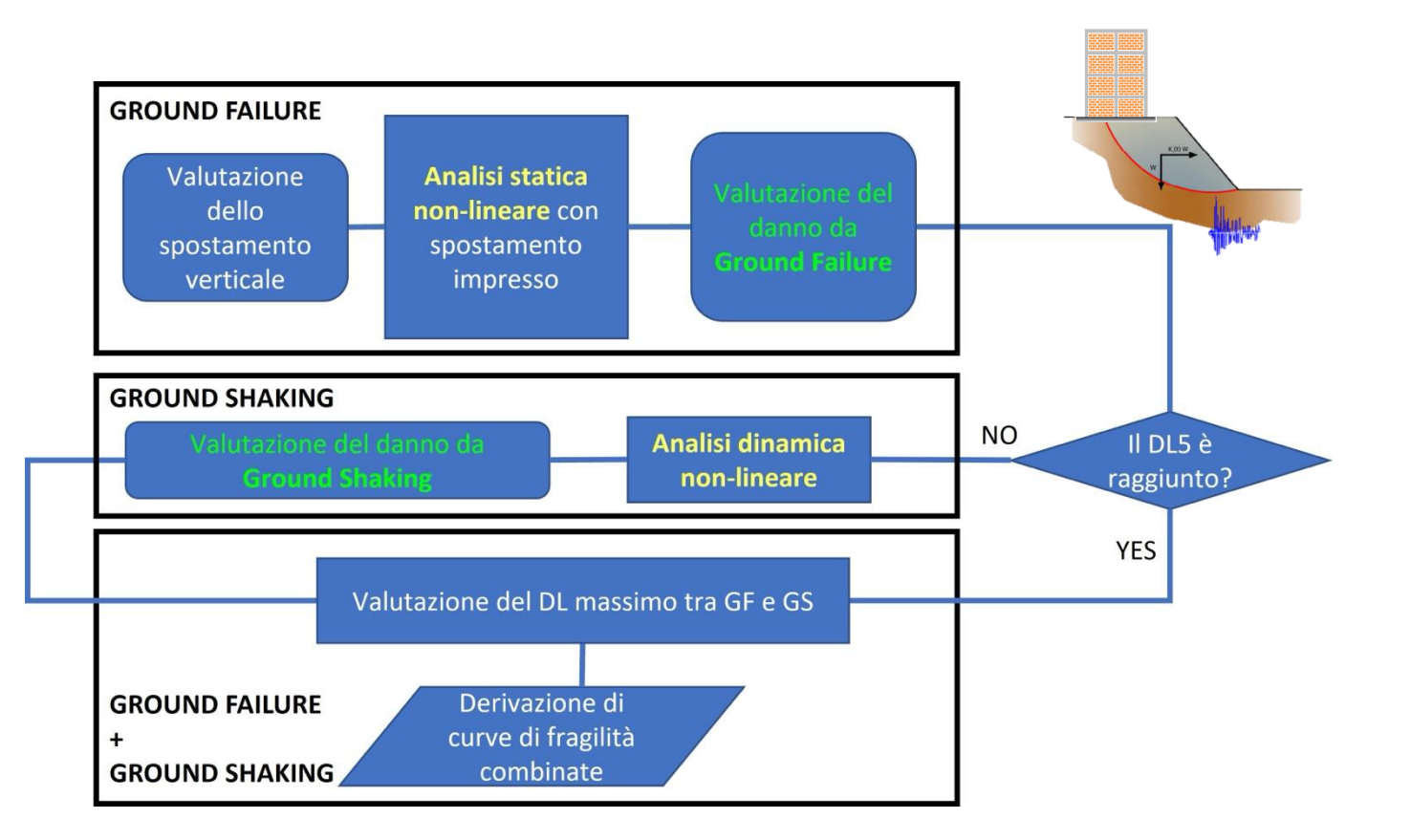
Task 4.10 – Valutazione multirischio per effetti sismo-indotti (A. Masi)



SCENARIO DI DANNO MULTIRISCHIO – AREA IRPINIA-BASILICATA SISMA 1980

METODOLOGIA PER LA STIMA DELLA VULNERABILITA' «COMBINATA»

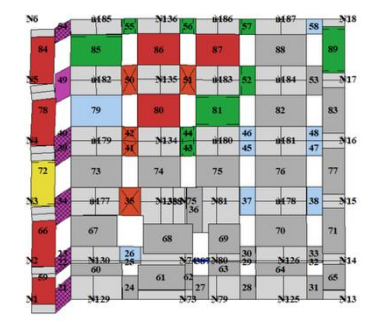
Analisi dinamiche non-lineari (ground shaking) in sequenza ad analisi statiche non-lineari (ground failure) per la derivazione delle curve di fragilità «combinate»

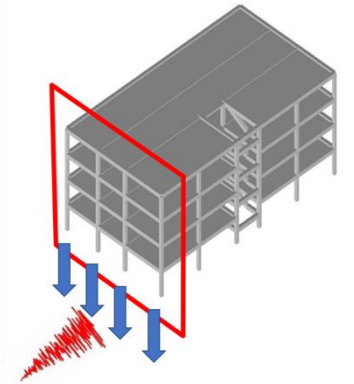


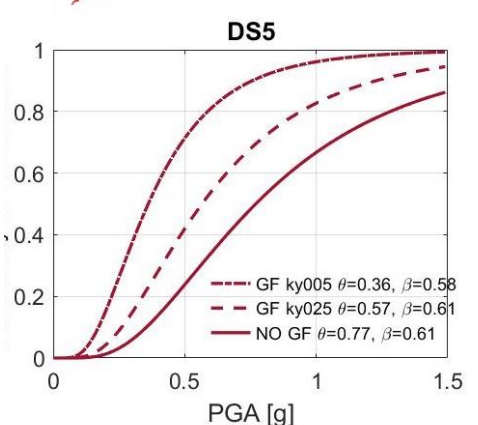
È in corso la derivazione di curve di fragilità combinate per tipologie edilizie ricorrenti in c.a. e muratura.

Per il c.a. i risultati disponibili mostrano una significativa influenza del ground failure.

Per esempio, al DS5 si ha una riduzione del 53% della mediana della FC rispetto al solo ground shaking (accelerazione critica 0.05g).









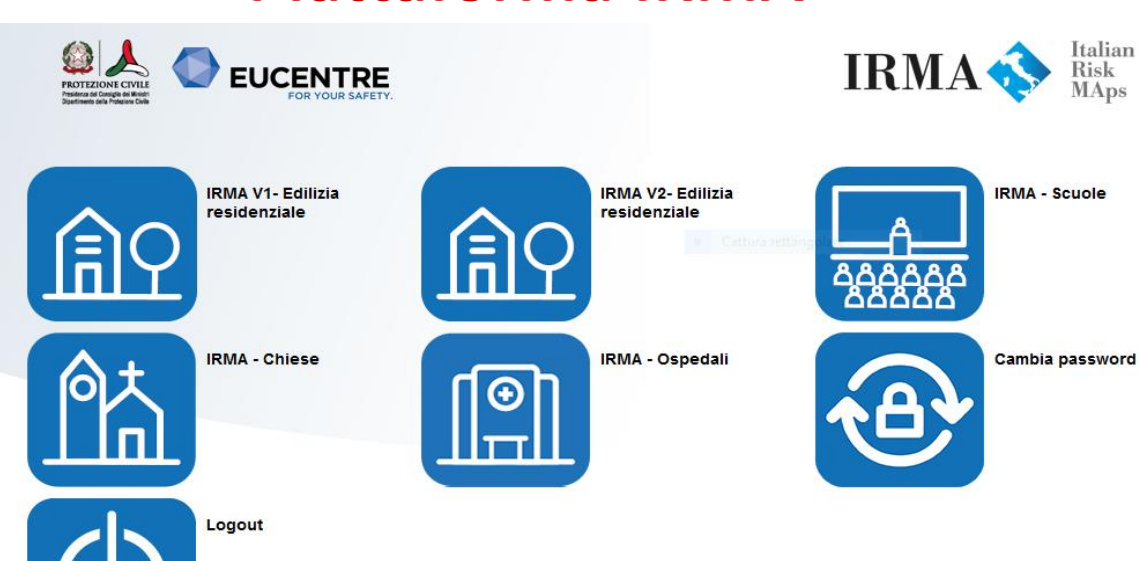
Task 4.11 – Rischio a scala nazionale e locale Task 4.12 – Scenari di danno sismico (OELF, post-evento)



(S. Lagomarsino, A. Masi, G. Zuccaro)

Attività EUCENTRE (Barbara Borzi, Marta Faravelli, Mauro Onida)

Piattaforma IRMA



- La piattaforma IRMA è in continua evoluzione e sviluppo. Negli WebGis sono:
 - Disponibili nuovi filtri (es.: creazione di mappe filtrando sulla PGA₄₇₅ – utile per tenere conto degli interventi di rinforzo a scala geografica)
 - Disponibili nuovi tool per l'aggregazione delle mappe
- E' stata completata l'implementazione dell'utenza DPC che vede le mappe pubblicate dalla comunità scientifica e può eseguire operazioni sulle mappe
- ➢ IRMA Residenziale: in corso implementazione per l'utilizzo delle curve di vulnerabilità al posto di quelle di fragilità+matrici di conseguenza per il calcolo delle perdite economiche



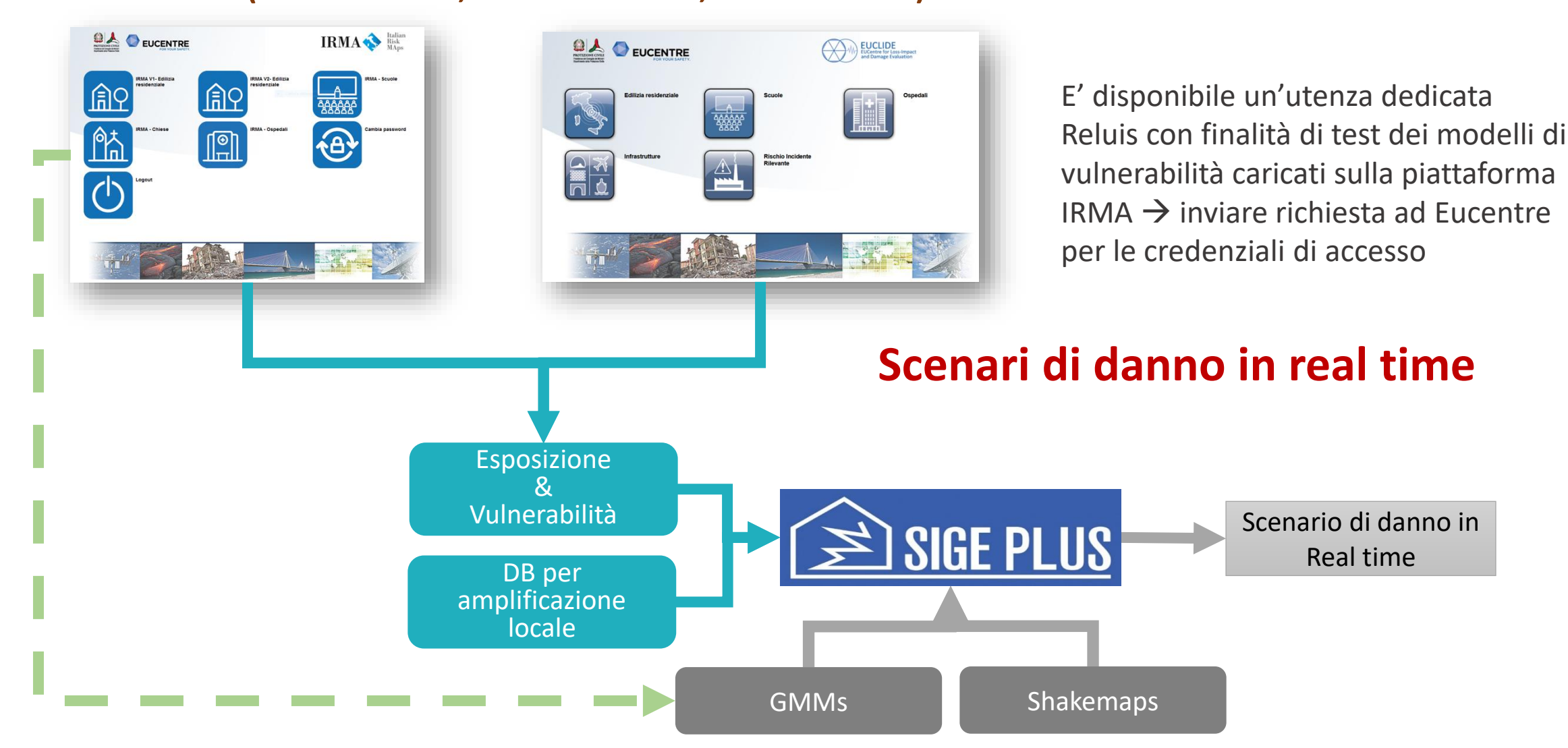


Task 4.11 – Rischio a scala nazionale e locale Task 4.12 – Scenari di danno sismico (OELF, post-evento)



(S. Lagomarsino, A. Masi, G. Zuccaro)

Attività EUCENTRE (Barbara Borzi, Marta Faravelli, Mauro Onida)





PRODOTTI ATTESI



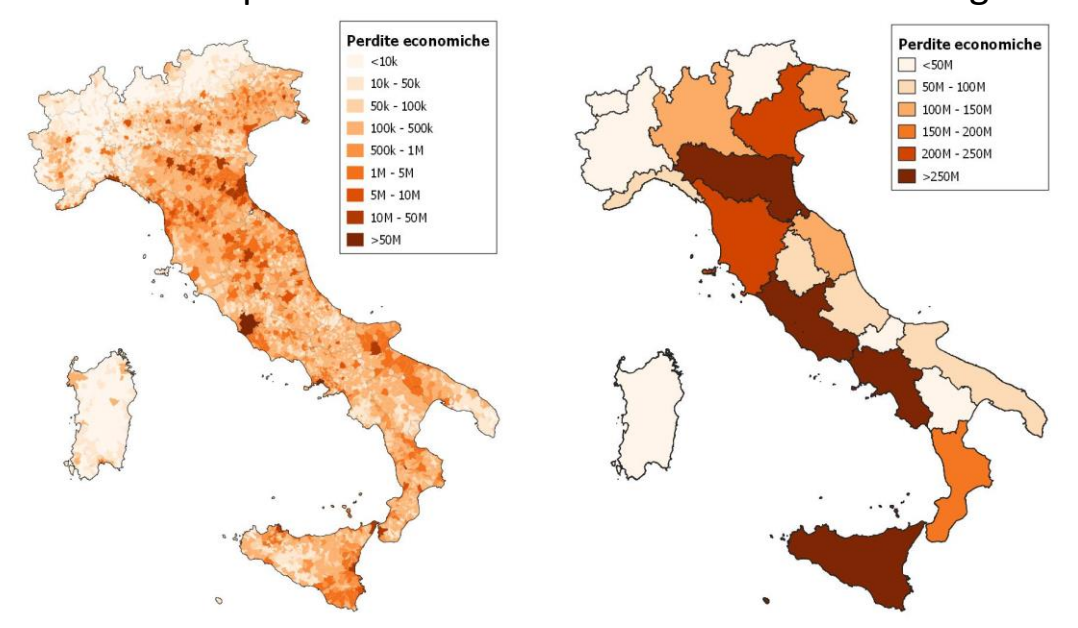
Risultati originali che si stanno ottenendo

- Mappe di rischio per edifici specialistici, per i quali sono disponibili un'anagrafica robusta e curve di fragilità validate da dati osservati:
 - Scuole, Chiese, Ospedali, Capannoni e Ponti
- Elaborazione di scenari di danno sismico e la loro rappresentazione con modalità efficaci in funzione della scala e della finalità di uso per la Protezione Civile (OELF, post-evento), da implementare nella piattaforma SIGE Plus
- Miglioramento della conoscenza delle tipologie di esposto a scala nazionale, tramite la compilazione delle schede CARTIS, riferite alle tipologie edilizie ordinarie (CARTIS Comparto e CARTIS Edificio), di grande luce (CARTIS Grandi Luci) e chiese (CARTIS Chiese). Nuove schede per Scuole e Ospedali.
- Identificazione di misure di intensità più efficienti e aggiornamento curve di fragilità, considerando anche le condizioni del sottosuolo.

Aggiornamento/integrazione del NATIONAL RISK ASSESSMENT

	Muratura		Cemento Armato		MUR + CA	
	Vittime	Feriti gravi	Vittime	Feriti gravi	Vittime	Feriti gravi
Valore medio	375	1'300	247	870	620	2'170
Dispersione	0.37	0.36	0.77	0.75	0.53	0.51
16°percentile	260	910	110	410	370	1'320
84°percentile	540	1'855	530	1'840	1'080	3'690

Perdite annuali per il **RESIDENZIALE** a scala comunale e regionale



	MUR	CA	MUR + CA
Valore medio annuo	1'470 M€	1'250 M€	2'720 M€
Dispersione	0.16	0.38	0.26
16° percentile	1'260 M€	860 M€	2'120 M€
84° percentile	1'730 M€	1'830 M€	3'560 M€



Convegno ReLUIS



Progetto DPC-ReLUIS 2024-2026 II anno

Napoli, 13-14 ottobre 2025

WP 4 – MARS-CARTIS Mappe di Rischio e Scenari di danno sismico

Sergio Lagomarsino, Angelo Masi e Giulio Zuccaro